

## ریزرسارهای و محیطرسوبی رسوبات تربیاس زیرین سازند الیکا در برش زال، ناحیه جلفا، شمال غرب ایران

سکینه عارفی‌فرد<sup>۱</sup> و سیما شاهین‌فر<sup>۲</sup>

۱- استادیار گروه زمین‌شناسی، دانشکده علوم‌پایه، دانشگاه لرستان، خرم‌آباد، ایران

۲- دانش‌آموخته دکترا، گروه زمین‌شناسی، دانشکده علوم‌پایه، دانشگاه لرستان، خرم‌آباد، ایران

نویسنده مسئول: sarefi.s@lu.ac.ir

دریافت: ۱۴۰۲/۷/۳۰ پذیرش: ۱۴۰۲/۳/۸

نوع مقاله: پژوهشی

### چکیده

یکی از کامل‌ترین توالی‌های رسوبی پرمین بالایی- تربیاس زیرین در برش زال در ناحیه جلفا در شمال غرب ایران قرار گرفته است. این برش جهت تعیین تغییرات ریزرساره و محیط رسوبی در بالاترین بخش پرمین بالایی و در طول تربیاس زیرین مورد مطالعه قرار گرفت. تغییرات رخساره‌ای از نهشت‌های عمیق بخش‌های بالایی آهک پاراتیرولیتیس دار به رخساره رس مرزی بعد از انفراض به سن انتهایی ترین بخش چنگسینگین به لحاظ لیتوژوئیکی و محتویات فونانی بسیار بارز می‌باشد. این تغییر هر چند که به نظر می‌رسد تا حدودی با کم عمق شدن آب دریا همراه باشد اما آثاری از هوازدگی و خروج از آب را نشان نمی‌دهد. با شروع تربیاس اگرچه میکروگاستروپود پکستون و بایوکلاستیک وکستون در قاعده سازند الیکا در برش زال دارای ظاهر لخته‌ای می‌باشد که منشا میکروبیال را پیشنهاد می‌کند ولی هیچگونه تشکیلات میکروبیال مشخصی نظیر تروموبولیت‌ها مشاهده نمی‌شود. فابریک اسفنج کراتوس که قبل از بخش آهک پاراتیرولیتیس دار در برش زال گزارش شده بود هم در رخساره رس مرزی و هم در لایه‌های قاعده‌ای سازند الیکا به عنوان یک ویژگی بعد از انفراض برای اولین بار در این برش گزارش می‌شود. گذر از پرمین بالایی به تربیاس زیرین در برش مورد مطالعه با تغییرات رخساره‌ای بارز از محیط عمیق به محیط کم عمق شلف درونی همراه می‌باشد. در برش زال ظهور کربنات‌های میکروبیال در لایه‌های بالایی بخش زیرین و در بخش میانی و بالایی تربیاس زیرین سازند الیکا می‌باشد که بر خلاف گزارش‌های قبلی عمدتاً بصورت استروماتولیت بوده و بصورت محدودتر شامل تروموبولیت و یا بصورت میکریت لخته‌ای و کوتولید مشاهده می‌شود. مطالعه ریزرساره‌های تربیاس زیرین در برش مربوطه حاکی از محیط کم عمق با نوسانات انرژی در بخش‌های مختلف آن نظیر مادستون و بایوکلاستیک وکستون (انرژی کم)، تشکیلات میکروبیال (انرژی متوسط) و اینترکلاستیک فلوتسنون و اییدال گرینستون (انرژی بالا) می‌باشد.

**واژگان کلیدی:** سازند الیکا، تربیاس زیرین، تغییرات محیطی، کربنات‌های میکروبیال، انفراض انتهای پرمین

### ۱- پیشگفتار

نمونه و سایر رخنمونهای سازند الیکا در البرز، بخش زیرین سازند الیکا شامل آهک‌های ورقمانی و آهک‌های مارنی است که با ویژگی لایه‌بندی نازک، ساختهای کرم مانند وجود دوکه‌ای کلارایا و گاستروپودهای کوچک از دولومیت‌های ضخیم لایه بخش بالایی قابل تفکیک است. بدلیل حضور فراوان آثار کرم مانند در آهک‌های بخش زیرین سازند الیکا این آهک‌ها بنام آهک ورمیکوله نامیده می‌شوند. دولومیتها و آهک‌های دولومیتی بخش بالایی سازند الیکا متراکم و صخره‌ساز بوده و بنام دولومیت‌های الیکا معروف می‌باشند. در بعضی از نواحی البرز نظیر ورسک و شهرمیرزاد بر روی دولومیت‌های بخش بالایی

نهشت‌های تربیاس زیرین و میانی در ایران بطور کلی شامل سنگ‌های کربناته پلاتفرمی هستند که با ناپیوستگی هم‌شیب واضح بر روی چینه‌های پرمین قرار می‌گیرند (گلشنی و همکاران، ۱۹۸۶). رسوبات تربیاس زیرین و میانی به سه واحد سنگ‌شناسی مشخص قابل تقسیم هستند که شامل واحد آهک نازک لایه زیرین، واحد دولومیت میانی و واحد آهک بالایی است (سیدامامی، ۲۰۰۳). رسوبات تربیاس زیرین و میانی البرز بطور کلی متشکل از آهک در بخش زیرین و دولومیت در بخش بالایی است و بنام سازند الیکا نام‌گذاری شده‌اند (گلاوس، ۱۹۶۴). در محل برش

(پین و همکاران، ۲۰۰۴؛ سان و همکاران، ۲۰۱۲). افزایش نرخ رسوب‌گذاری (آلجیو و تویچت، ۲۰۱۱) و تغییرات غیرمعمول درجه حرارت (سان و همکاران، ۲۰۱۲) احتمالاً در طولانی شدن بازیابی اکوسیستم دریایی بعد از بحران زیستی انتهایی پرمین نقش داشته‌اند. مقادیر ایزوتوپ استرونیوم<sup>88/87</sup> Sr نهشته‌های تریاس زیرین در برش زال، در ناحیه جلفا برای تعیین ارتباط درجه حرارت با نرخ‌های هوازدگی و سرعت بازیابی شرایط اکوسیستم توسط سدلساک و همکاران (۲۰۱۴) مورد مطالعه قرار گرفته است. در برش زال تاکنون مطالعات مفصل بر روی ریزخسارهای و محیط رسوبی نهشته‌های تریاس زیرین صورت نگرفته است. بررسی محیط رسوبی کربنات‌های تریاس زیرین در برش زال امکان ارزیابی ارتباط تغییرات محیطی و تاثیر آن را بر روی تغییرات اکوسیستم دریایی بعد از انفراض انتهایی پرمین بالایی را فراهم می‌کند.

## ۲- موقعیت زمین‌شناسی

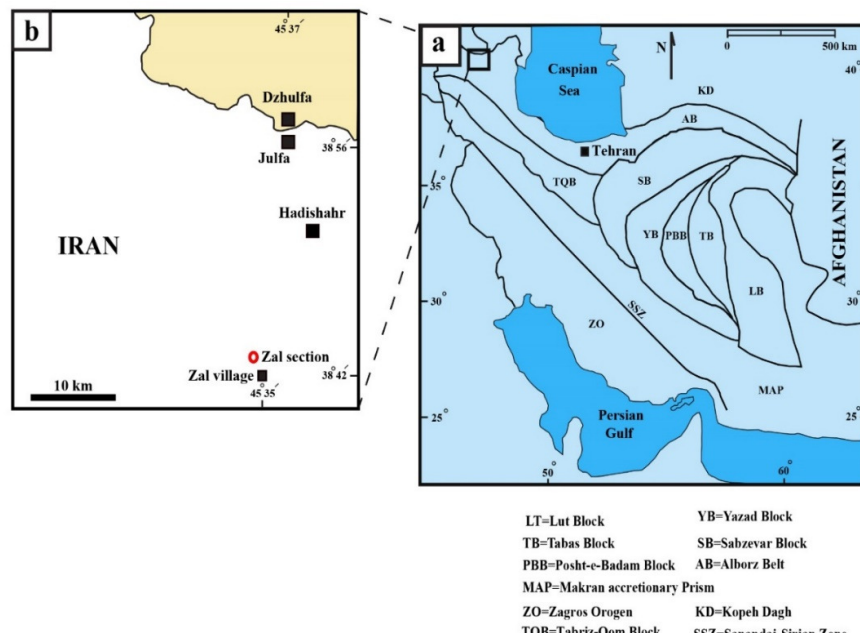
برای این مطالعه برش چینه‌شناسی زال با مختصات جغرافیایی "۵۷° ۳۸' ۴۳" عرض شمالی و "۴۶° ۳۴' ۴۵" طول شرقی واقع در کوه زال در ۲۲ کیلومتری جنوب-جنوب غرب جلفا و ۲/۵ کیلومتری روستای زال در شمال غرب ایران انتخاب شده است (شکل ۱۶). برش مورد نظر در یک دره باریک عمیق قرار گرفته که در شیب شمالی آن رسوبات پرمین بالایی و مرز پرمین-تریاس مشهود است. در داخل رسوبات تریاس زیرین الیکا سه مجموعه دایک ولکانیکی وجود دارد. ناحیه جلفا در غرب کوه‌های البرز، که با روند شرقی-غربی از ففقار کوچک در ارمنستان و آذربایجان در شمال غرب تا کوه‌های پروپامیسین در شمال افغانستان به طرف شرق امتداد دارد، قرار گرفته است (علوی، ۱۹۹۶). کوه‌های البرز به لحاظ ساختاری به عنوان بلوک البرز در نظر گرفته می‌شوند (شنگور، ۱۹۹۰؛ علوی، ۱۹۹۶). اگرچه نهشته‌های پرمین زیرین و میانی در ناحیه جلفا مشابه با سایر نقاط البرز می‌باشد ولی رسوبات پرمین بالایی و گذر از مرز پرمین-تریاس آن با معادلهای خود در نواحی دیگر البرز متفاوت می‌باشد که دلیل آن فرونشینی تکتونیکی در ناحیه جلفا می‌باشد (سعیدی و همکاران، ۱۹۹۷؛ حسن‌زاده و ورنیکه، ۲۰۱۶)، رسوب‌گذاری در گذر از پرمین بالایی به تریاس زیرین در ناحیه جلفا پوسته بوده در حالی که در سایر برش‌های پرمین بالایی

سازند الیکا آهک‌های معروف به بخش آهکی و رسک قرار گرفته‌اند که بالاترین بخش سازند الیکا را تشکیل می‌دهند. با باز شدن نتوتیس، بلوک‌های سیمیرین به سمت شمال حرکت کردند و فرونشینی پوسته اقیانوسی پالئوتیس در طول حاشیه اورازیا فعال شد که تقریباً در بیشتر زمان پرمین تا تریاس ادامه داشت (روتنر، ۱۹۹۳؛ بس و همکاران، ۱۹۹۸؛ زانچی و همکاران، ۲۰۰۹؛ مکاف، ۲۰۱۳؛ زو و همکاران، ۲۰۲۲). وجود رسوبات با ضخامت زیاد سازند الیکا (تا ۹۰۰ متر به عنوان مثال در برش‌های شهرمیرزاد و رسک) در مقایسه با نهشته‌های پرمین میانی و بالایی البرز (تا ۵۰۰ متر در برش‌های الگوی سازندهای روتنه و نسن) در نتیجه پیشروی عمومی دریا در سرتاسر البرز در آغاز تریاس می‌باشد (برونت و همکاران، ۲۰۰۹). این افزایش ضخامت رسوبات در تریاس زیرین البرز احتمالاً ناشی از نزدیک شدن البرز به زون فرونشینی مایل کمان توران می‌باشد (ناتالین و شنگور، ۲۰۰۵؛ موتانی و همکاران، ۲۰۰۹ a,b). سازند الیکا با ناپیوستگی همشیب بر روی سنگ‌های پرمین میانی (سازند روتنه) یا پرمین پسین (سازند نسن) قرار می‌گیرد و مرز بالایی آن نیز با ناپیوستگی فراسایشی در زیر شیل‌ها و ماسه‌سنگ‌های تریاس بالایی-ژوراسیک میانی سازند شمشک مشخص می‌شود. مطالعات بیوستراتیگرافی (پاشایی و همکاران، ۱۳۹۱؛ بدريکلاو و همکاران، ۲۰۱۵)، ریزخساره، محیط رسوبی و چینه‌نگاری سکانسی (طهماسبی، ۱۳۶۷؛ وزیری، ۱۳۸۴؛ ستوهیان، ۱۳۹۳، ۱۳۸۷؛ مهاری و همکاران، ۲۰۱۲؛ سمیعی‌راد، ۱۳۹۳؛ قادری برمی، ۱۳۹۳؛ جهانی، ۱۳۹۷؛ پورحیدر و همکاران، ۱۴۰۰) و زئوژیمی (بابایی خو و همکاران، ۱۳۸۶؛ پورحیدر و همکاران، ۱۳۹۹؛ یعقوبی و همکاران، ۱۴۰۱) سازند الیکا در بخش‌های مختلف جنوبی، غربی و شرقی البرز و بطور محدود در منطقه جلفا توسط زمین‌شناسان متعددی مطالعه شده است. تریاس آغازی یک بازه زمانی طولانی مدت از بازیابی زیستی بعد از انفراض انتهایی پرمین را نشان می‌دهد، که اکوسیستم‌های دریایی و خشکی را نابود کرد (ریتلاتک، ۱۹۹۵؛ اروین و همکاران، ۲۰۰۲؛ پین و همکاران، ۲۰۰۶؛ آلجیو و همکاران، ۲۰۱۱).

تریاس آغازی با عدم ثبات در سیکل کربن و نوسانات درجه حرارت جهانی مشخص می‌شود که نشان می‌دهد آشفتگی‌های محیطی مانع از بازیابی زیستی شده است

گندوانا بوده اما با ریفتینگ و بازشدن نئوتیس در زمانی بین پرمین آغازی و میانی و حتی اواخر کربنیفر (موتانی و همکاران، ۲۰۰۹a,b؛ عارفی‌فرد، ۲۰۱۷؛ وان و همکاران، ۲۰۲۱؛ ژانگ و همکاران، ۲۰۲۲) به همراه سایر بلوک‌های سیمیرین به سمت شمال حرکت کردند و در لوپینگین به عرض‌های جغرافیایی قدیمی استوایی رسیدند (استامپفلی و بورل، ۲۰۰۲؛ ۲۰۰۴؛ متکاف، ۲۰۰۶، موتانی و همکاران، ۲۰۰۹a,b).

در البرز با لاتریتی شدن و خروج از آب در نتیجه افت سطح آب دریا همراه بوده است. نهشته‌های تریاس در نواحی جلفا کاملاً با معادلهای زمانی خود در سایر نواحی البرز بطرور کلی به لحاظ ویژگی‌های سنگ‌شناسی و فسیل‌شناسی مشابهت نشان می‌دهد و حاکی از استیلای شرایط رسوبگذاری یکسان در سرتاسر البرز می‌باشد. بلوک شمال ایران (بلوک البرز) به همراه کوچک قاره ایران مرکزی تا زمان کربنیفر بخشی از صفحه عربی در حاشیه شمالی



شکل ۱. a) نقشه تکتونیکی ایران (اقتباس از علی، ۱۹۹۱) که در آن موقعیت برش مورد مطالعه نشان داده شده است و b) نقشه موقعیت جغرافیایی برش مورد مطالعه.

Fig. 1. a) Tectonic map of Iran (after Alavi, 1991) in which the location of the section under study is shown, b) the geographic location of the studied section.

#### ۴- چینه‌شناسی

برش نمونه‌برداری شده ۱/۵ متر در زیر مرز پرمین-تریاس و از رسوبات چنگسینگین مربوط به سنگ‌آهک‌های پاراتیولیتیس‌دار شروع می‌شود (به ضخامت ۱ متر) که متشکل از آهک‌های قرمز تا خاکستری نودولار متوسط لایه‌های تانازک لایه با میان لایه‌های بسیار نازکی از شیل‌های تیره است (شکل‌های ۲ تا ۶). آهک‌های صخره‌ساز پاراتیولیتیس‌دار بصورت همشیب توسط رس مرزی<sup>۱</sup> یا عضو ارس<sup>۲</sup> (به ضخامت ۰/۵ متر) قرمز، زرد و خاکستری به سن چنگسینگین پسین پوشیده می‌شود که گذر از پرمین پسین به تریاس آغازی را نشان می‌دهد. شروع

#### ۳- مواد و روش‌ها

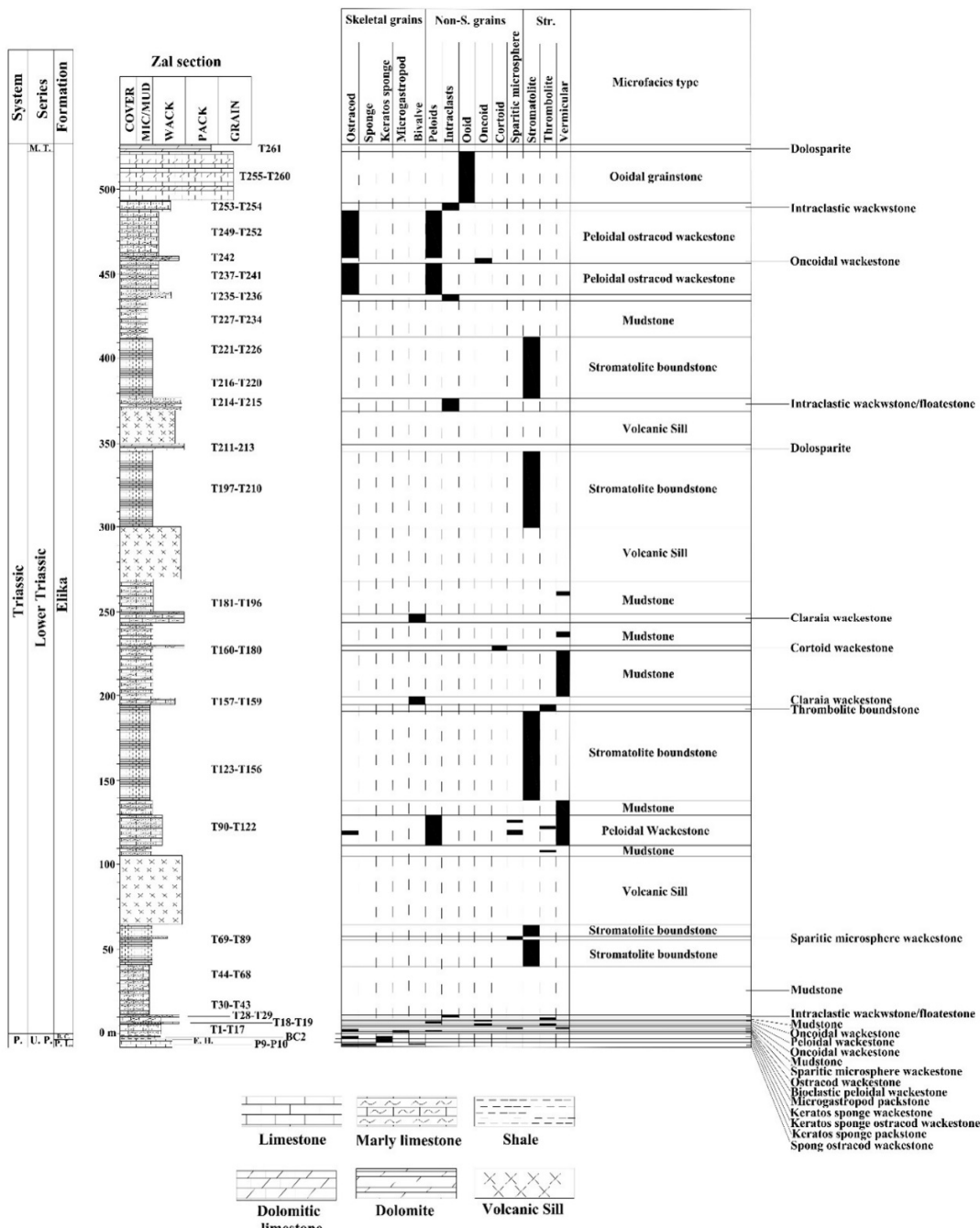
به منظور بررسی نهشته‌های بالاترین بخش پرمین بالایی و تریاس زیرین و تغییرات ریزرساره و محیط رسوبی آن‌ها نمونه‌برداری از برش شناخته شده زال در شمال غرب ایران انجام و بالاترین لایه‌های آهک‌های پاراتیولیتیس‌دار (نمونه)، رس مرزی (یک نمونه) و آهک‌های تریاس زیرین (یکا ۲۶۱) نمونه‌برداری شد. از نمونه‌های برداشت شده برش نازک تهیه و توسط میکروسکوپ پلاریزان مطالعه شدند. برای نام‌گذاری ریزرساره و تعیین محیط رسوبگذاری از تاکر و رایت (۱۹۹۰) و فلوگل (۲۰۱۰) استفاده شده است.

<sup>2</sup> Aras Member

<sup>1</sup> Boundary Clay

آهک‌های ورقه‌ای با لایه‌های آهکی ضخیم لایه (به ضخامت ۲۸ متر) برنگ خاکستری تا خاکستری تیره دنبال می‌شود که دارای ساختارهای ترومبلیتی و استروماتولیتی است.

تریاکس زیرین در برش مطالعه با آهک‌های ورقه‌ای (به ضخامت ۳۹ متر) زرد تا خاکستری سازند الیکا است که دارای انکویید، ساختار ترومبلیتی و قطعات اسفروولیتی است و در افق‌هایی از آن دولومیت نیز مشاهده می‌شود.

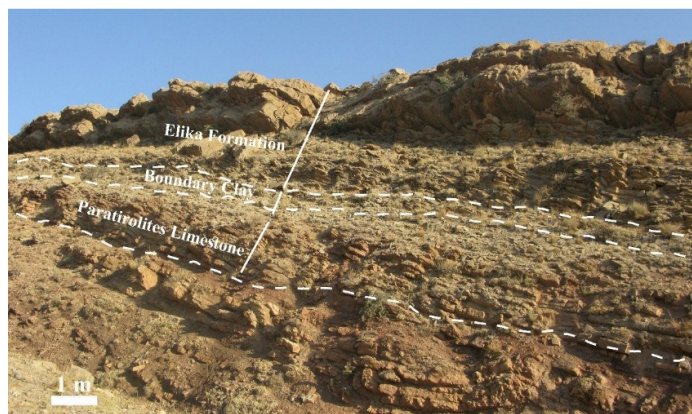


شکل ۲. نمایش ستون چینه‌شناسی و فهرست ریزرساره‌های آهکی بالاترین بخش پرمین بالایی و تریاکس زیرین در برش زال، ناحیه جلفا. اختصارات: P= Permian, U. P. = Upper Permian, B. C. = Boundary Clay, P. L. = Paratirolites Limestone, M. T. = Middle Triassic, E. H. = Extinction horizon, Non- S. grains = Non-Skeletal grains, Str. = Structure.

Fig. 2. The stratigraphic section and microfacies lists of the limestone facies of the uppermost part of Upper Permian and Lower Triassic at Zal section, Julfa area. Abbreviations: P.= Permian, U. P. = Upper Permian, B.C. = Boundary Clay, P. L. = Paratirolites Limestone, M. T. = Middle Triassic, E. H. = Extinction horizon, Non- S. grains = Non-Skeletal grains, Str. = Structure.

نازک لایه خاکستر تازردنگ که در بخش میانی صخره‌ساز هستند به ضخامت ۸۱ متر بر روی سیل‌های ولکانیکی قرار گرفته‌اند. در بخش قاعده‌ای و میانی آهک‌های فوق‌الذکر کنگلومرا با قلوه‌های مسطح<sup>۱</sup> مشاهده می‌شود. علاوه بر این در بخش‌های زیرین این آهک‌ها ساختارهای استروماتولیتی و تروموبولیتی و در بخش‌های بالایی آن آهک‌های آنکولیتی وجود دارد. بر روی آهک‌های فوق، کنگلومرا با قلوه‌های مسطح و آهک‌های نازک تا متوسط لایه خاکستری دارای اینترکلاست (به ضخامت ۱۸ متر) قرار گرفته‌اند که با آهک‌های مشکل از اییدهای خوب حفظ شده (به ضخامت ۲۲ متر) دنبال می‌شود. بالاترین بخش برش مورد مطالعه از دولومیت‌های کرم رنگ متوسط لایه تا ضخیم لایه تشکیل شده که متعلق به تریاس میانی سازند الیکا می‌باشد.

در فاصله ۶۷ متری از قاعده سازند الیکا، توالی تریاس زیرین با یک سیل ولکانیکی به ضخامت حدود ۴۰ متر بهم ریخته می‌شود و سپس بر روی آن آهک‌های نازک لایه رومیکوله زرد تا خاکستری رنگ (به ضخامت ۱۵ متر) که با آهک‌های نازک لایه تا متوسط لایه خاکستری (به ضخامت ۱۵۴ متر) با ساختار استروماتولیتی، آنکویید، پیریت و حضور کلارایا در افق‌هایی از آن دنبال می‌شود. سیل ولکانیکی دوم به ضخامت ۳۰ متر بر روی آهک‌های نازک لایه زیرین قرار می‌گیرد. سپس رسوب‌گذاری سازند الیکا با نهشته شدن آهک‌های (به ضخامت ۷۳ متر) متوسط تا ضخیم لایه با ساختار استروماتولیتی ادامه می‌یابد که بالاترین افق آن دولومیتی بوده و بر روی آن واحد سیل ولکانیکی سوم به ضخامت ۲۰ متر روی آن قرار می‌گیرد. در بخش بالایی برش زال، آهک‌های متوسط تا



شکل ۳. تصویر نهشته‌های پرمین بالایی (سنگ آهک پاراتیرولیتیس دار به سن وجیاپینگین بالایی و رس مرزی به سن بالاترین بخش چنگسینگین) و مرز بالایی آن‌ها با نهشته‌های تریاس زیرین سازند الیکا در برش زال، ناحیه جلفا، دید به سمت شرق.

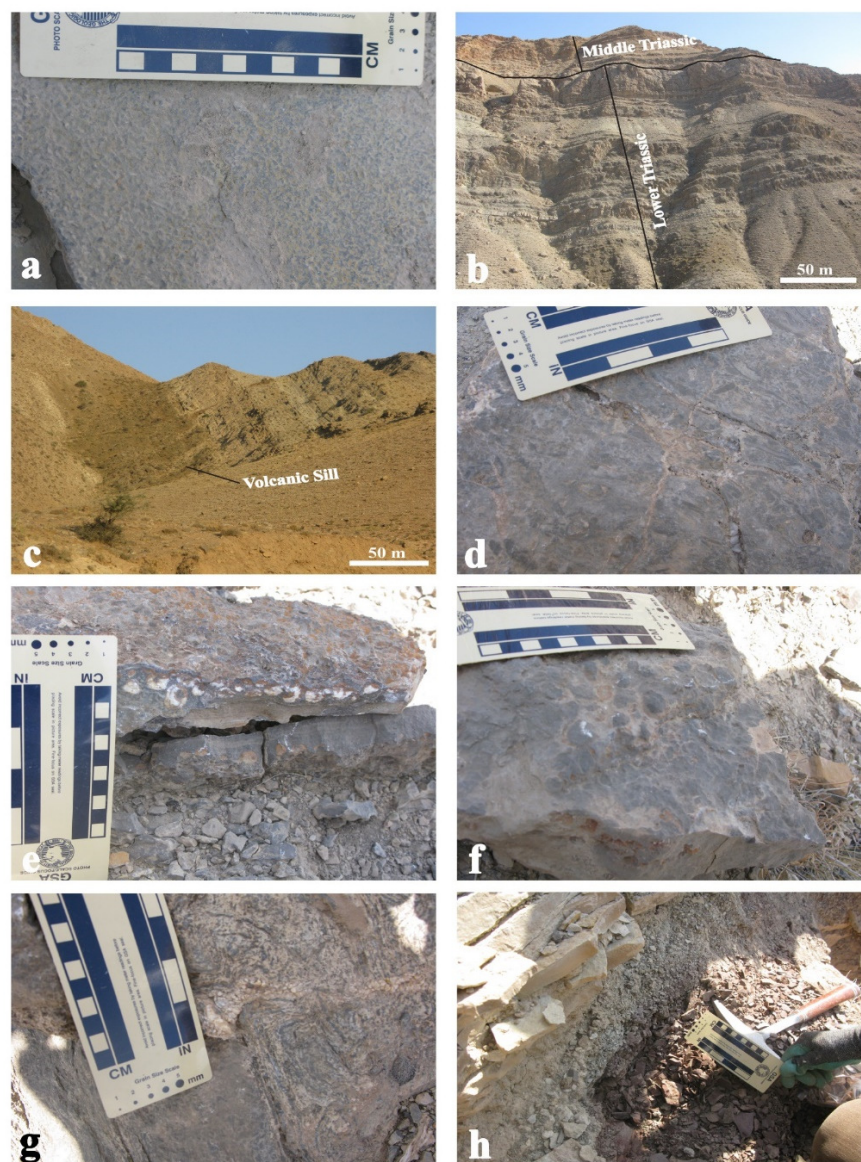
Fig. 3. Upper Permian deposits (upper Changhsingian Paratirolites Limestone and uppermost Changhsingian “Boundary Clay” and their upper boundary with Lower Triassic Elika Formation at Zal section, Julfa area, view toward East.



شکل ۴. تصویر نمای دور از نهشته‌های پرمین میانی و بالایی و نهشته‌های تریاس زیرین و میانی سازند الیکا در برش زال، ناحیه جلفا، دید به سمت شمال شرق. اختصار: M. P. = Middle Permian, U. P. = Upper Permian.

Fig. 4. a distant view of the Middle and Upper Permian as well as Lower and Middle Triassic Elika Formation at Zal section, Julfa area, view toward NE. Abbreviations: M. P. = Middle Permian, U. P. = Upper Permian.

<sup>۱</sup> Flat pebble conglomerate



شکل ۵. تصاویر صحرایی مربوط به نهشته‌های پرمین بالایی و تریاس زیرین برش زال، ناحیه جلفا. (a) آهک‌های تریاس زیرین با خش میانی سازند الیکا با ساختار ترومبلویتی، (b) آهک‌های نازک تا متوسط لایه با خش میانی و بالایی تریاس زیرین سازند الیکا که بر روی آن دولومیت‌های تریاس میانی سازند الیکا قرار می‌گیرند، (c) سیل ولکانیکی در بخش‌های زیرین تریاس زیرین سازند الیکا، (d) کنگلومرات با قلوه‌های مسطح در بخش زیرین تریاس زیرین سازند الیکا، (e) و (f) آهک‌های آنکوییدی در بخش بالایی تریاس زیرین سازند الیکا، (g) کنگلومرات با قلوه‌های مسطح در بخش بالایی تریاس زیرین سازند الیکا، (h) شیل‌های قرمز رس مرزی در گذر از پرمین بالایی به تریاس زیرین.

**Fig. 5. Field photographs of the Upper Permian and Lower Triassic deposits at Zal section, Julfa area.** a) middle part of the Lower Triassic Elika Formation with thrombolitic structure, b) thin- to medium-bedded limestones of the middle and upper parts of the Lower Triassic Elika Formation that are overlain by the dolomites of the Middle Triassic Elika Formation, c) Volcanic sill I the lower part of the Lower Triassic Elika Formation, d) Flat pebble conglomerate in lower part of the Lower Triassic Elika Formation, e and f) Oncoidal limestones in the upper part of the Lower Triassic Elika Formation, g) Flat pebble conglomerate in the upper part of the Lower Triassic Elika Formation, h) Red shales of "Boundary Clay" in Upper Permian-Lower Triassic transition.

ترکیب دانه‌ها، مشخصات بافتی و محتويات فسيلی تعداد

۱۸ ریزرخساره شناسایی شدند که در زیر توصیف بعضی از آن‌ها ارایه شده است. توزیع انواع ریزرخساره‌ها در سرتاسر برش مورد مطالعه در شکل ۲ نشان داده شده است.

##### ۵- ریزرخساره‌ها

ریزرخساره‌های شناسایی شده در برش زال متعلق به بخش بالایی آهک‌های پاراتیروولیتی‌دار، رس مرزی یا عضو ارس و نهشته‌های تریاس زیرین سازند الیکا است. بر اساس



شکل ۶. تصاویر صحرایی از آهک‌های تریاس زیرین سازند الیکا، برش زال، ناحیه جلفا. (a) ساختار استروماتولیتی در آهک‌های بخش بالایی تریاس زیرین سازند الیکا و (b) ساختار استروماتولیتی در آهک‌های بخش میانی تریاس زیرین سازند الیکا.

**Fig. 6. Field photograph from Lower Triassic Elika Formation, Zal section, Julfa area. a) Stromatolitic structure of the upper part limestones of the Lower Triassic Elika Formation, b) Stromatolitic structure of the middle part limestones of the Lower Triassic Elika Formation.**

می‌رسد فاقد سوزن باشند و مشکله اصلی این ریزرساره هستند مشخص می‌شوند. سیلیس بی‌شکل در این اسفنج‌ها بطور کامل توسط کلسیت جایگزین شده است و بنابراین بصورت پسودومورف‌های کلسیت حفظ شده‌اند. سوزن‌های سست در رسوب شناور شدند و تا اندازه‌ای با رسوب جابجا و سپس با آن نهشته شده‌اند. جورشدگی در این ریزرساره متوسط و گردشگی ضعیف است. قطعات پوسته جدا از هم و بهم متصل استراکدها و پلوویدهای نیم گرد شده تا زاویه‌دار عناصر فرعی این ریزرساره هستند. همچنین قطعات میکریتی در زیر ریزرساره اسفنج پکستون وجود دارد که اشاره به تغییر از ریزرساره اینترکلاستیک وکستون-پکستون به ریزرساره اسفنج پکستون در راس آهک‌های پاراتیرولیتیس‌دار و بلافاصله در زیر رس مرزی یا عضو ارس دارد. ماتریکس میکریتی در بعضی بخش‌ها به میکرواسپار/اسپارایت متبلور شده است. وجود ریزرساره اسفنج کراتوس پکستون در راس

**۱-۵- ریزرساره‌های پرمین بالایی**  
ریزرساره‌های بخش بالایی آهک پاراتیرولیتیس‌دار اسفنج استراکد وکستون: این ریزرساره در آهک‌های قرمز رنگ نازک تا متوسط لایه بخش بالایی آهک پاراتیرولیتیس‌دار وجود دارد. مشکله‌های اصلی این ریزرساره شامل قطعات عمدتاً جدا شده پوسته استراکد و محدودی متصل بهم با اندازه‌های کوچک تا متوسط (در حدود ۲۰ درصد) و سوزن اسفنج (در حدود ۱۰ درصد) است که در یک زمینه ماتریکس میکریتی قرار گرفته‌اند. قطعات پوسته دوکه‌ای عناصر فرعی این ریزرساره هستند. جورشدگی در این ریزرساره ضعیف است. زمینه میکریتی بطور محدود در بعضی قسمت‌ها به میکرواسپار/اسپارایت متبلور شده است (شکل، ۷a).  
اسفنج کراتوس پکستون: این ریزرساره در آهک‌های نازک لایه خاکستری در بالاترین افق آهک‌های پاراتیرولیتیس‌دار وجود دارد و بوسیله اسفنج‌هایی که به نظر

جورشده‌گی و گرددشده‌گی ضعیفی نشان می‌دهند و در یک زمینه میکریتی قرار گرفته‌اند. پلوییدهای گرددشده تا نیمه گرددشده جز عناصر فرعی این آلوکم هستند. این ریزرساره برای اولین بار در قاعده سازند الیکا در برش زال مشاهده شده و در مطالعات قبلی (لدا و همکاران، ۲۰۱۴) و گلیوا و همکاران (۲۰۲۰) به آن اشاره نشده است (شکل، ۷g).

**پلوییدال وکستون:** این ریزرساره در آهک‌های زرد تا خاکستری روشن متوسط لایه بخش‌های قاعده‌ای تریاس زیرین الیکا وجود دارد. پلوییدهای زاویه‌دار تا نیمه زاویه‌دار از عناصر اصلی این ریزرساره هستند که در یک زمینه میکریتی قرار گرفته‌اند. اینتراکلاستهای زاویه‌دار و اسپرهای اسپارایتی از عناصر فرعی این ریزرساره هستند. گرددشده‌گی و جورشده‌گی آلوکم‌ها ضعیف است. زمینه میکریتی در بعضی قسمت‌ها شواهدی از تبلور مجدد نشان می‌دهد (شکل، ۷h).

**کلارایا وکستون:** این ریزرساره در بخش میانی آهک‌های زرد تا خاکستری کمرنگ متوسط لایه تریاس زیرین سازند الیکا مشاهده می‌شوند و در آن‌ها قطعات اسکلتی صدف دوکفه‌ای کلارایا که دچار تبلور مجدد شده‌اند تنها مشکله این ریزرساره بوده که در یک زمینه میکریتی قرار گرفته‌اند. جورشده‌گی و گرددشده‌گی دانه‌ها ضعیف می‌باشد. در اطراف بعضی از دانه‌ها آثار ضعیفی از میکریتی شدن وجود دارد. ماتریکس میکریتی دچار تبلور مجدد شده و در بین کریستال‌های کلسیت اسپارای پیریت وجود دارد (شکل، ۸a).

**بایوکلاستیک پلوییدال وکستون:** این ریزرساره در آهک‌های خاکستری نازک تا متوسط لایه بخش زیرین سازند الیکا وجود دارد که در آن پلوییدهای نیم گرد تا زاویه‌دار، گاستروپودها و استراکدها (در حدود ۲۰ درصد) مشکله‌های اصلی بوده و دانه‌های اسکلتی غیرقابل تشخیص مشکله‌های فرعی را تشکیل می‌دهند. زمینه میکریتی در بعضی قسمت‌ها به میکرو اسپارایت/اسپارایت متببور شده است. میزان جورشده‌گی و گرددشده‌گی ضعیف می‌باشد (شکل، ۸b).

**اینتراکلاستیک وکستون:** این ریزرساره در آهک‌های خاکستری تیره تا کمرنگ و متوسط لایه بخش‌های بالایی تریاس زیرین الیکا یافت می‌شود. اینتراکلاستهای مشکله اصلی در این ریزرساره هستند و دارای ترکیبی مشابه با

آهک‌های پاراتیرولیتیس دار به عنوان افق انقراض انتهای پرمین در نظر گرفته شده است (لدا و همکاران، ۲۰۱۴؛ گلیوا و همکاران، ۲۰۲۰) (شکل، ۷b).

### ۲-۵- ریزرساره رس مرزی

**سوزن اسفنج استراکد وکستون:** این ریزرساره در آهک‌های نازک لایه که بصورت بین لایه با شیل‌های رس مرزی می‌باشد وجود دارد. پوسته کامل استراکد و قطعات پوسته منفصل آن (در حدود ۱۵ درصد)، که با کلسیت اسپارای جایگرین شده و یا در پوسته کامل داخل آن توسط میکریت پر شده است، و سوزن‌های اسفنج کراتوس اجزا اصلی (در حدود ۱۰ درصد) این ریزرساره هستند که در درون ماتریکس میکریتی قرار گرفته‌اند. گرددشده‌گی و جورشده‌گی ضعیف است. دانه‌های اسکلتی غیر قابل تشخیص و قطعات میکریتی از مشکله‌های فرعی این ریزرساره هستند (شکل، ۷c).

### ۳-۵- ریزرساره‌های سازند الیکا

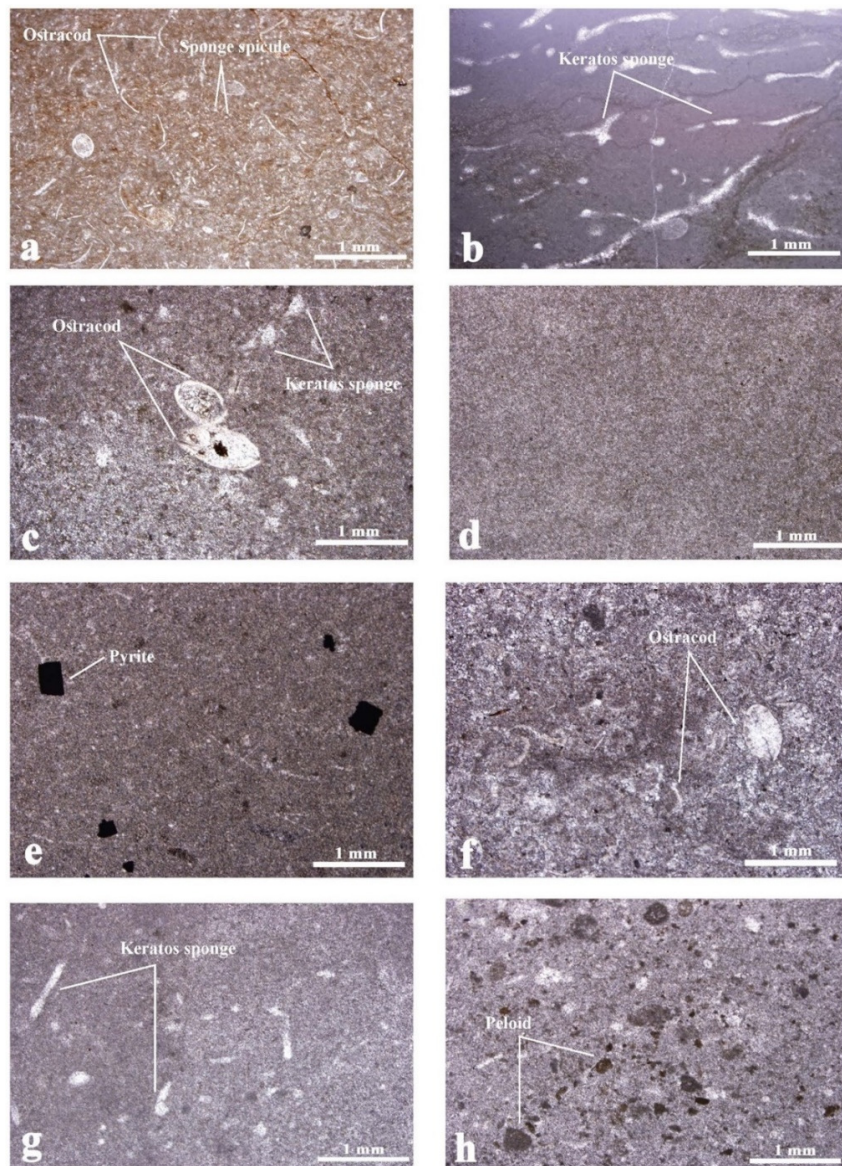
**مادستون:** این ریزرساره در آهک‌های تریاس زیرین سازند الیکا در بخش‌های مختلف زیرین، میانی و بالایی آن مشاهده می‌شود. این ریزرساره تنها شامل میکریت می‌باشد ولی در بعضی موارد بویژه در آهک‌های بخش‌های زیرین و بالایی الیکا دارای بلورهای پیریت می‌باشد (شکل، ۷e). استراکد و پلوییدهای از عناصر فرعی این ریزرساره هستند (شکل‌های، ۷d,e).

**استراکد وکستون:** این ریزرساره هم در آهک‌های متوسط لایه خاکستری قاعده‌ای سازند الیکا و هم در آهک‌های متوسط تا ضخیم لایه بخش‌های بالایی سازند الیکا با ویژگی حضور قطعات جدا شده و کامل پوسته استراکد به عنوان مشکله اصلی مشخص می‌شود. جورشده‌گی و گرددشده‌گی دانه‌های اسکلتی ضعیف می‌باشد. پلوییدها زاویه‌دار و نیمه‌گرددشده از عناصر فرعی این ریزرساره هستند. ماتریکس میکریتی به میکرو اسپارایت اسپارایت متببور شده است (شکل، ۷f).

**اسفنج کراتوس وکستون:** این ریزرساره در قاعده‌ای لایه سازند الیکا و بلا فاصله در بالای رس مرزی قرار گرفته است و متعلق به آهک‌های خاکستری تا سبز کمرنگ نازک لایه در قاعده این سازند می‌باشد. تنها مشکله اصلی این ریزرساره اسفنج کراتوس (در حدود ۱۵ درصد) است که

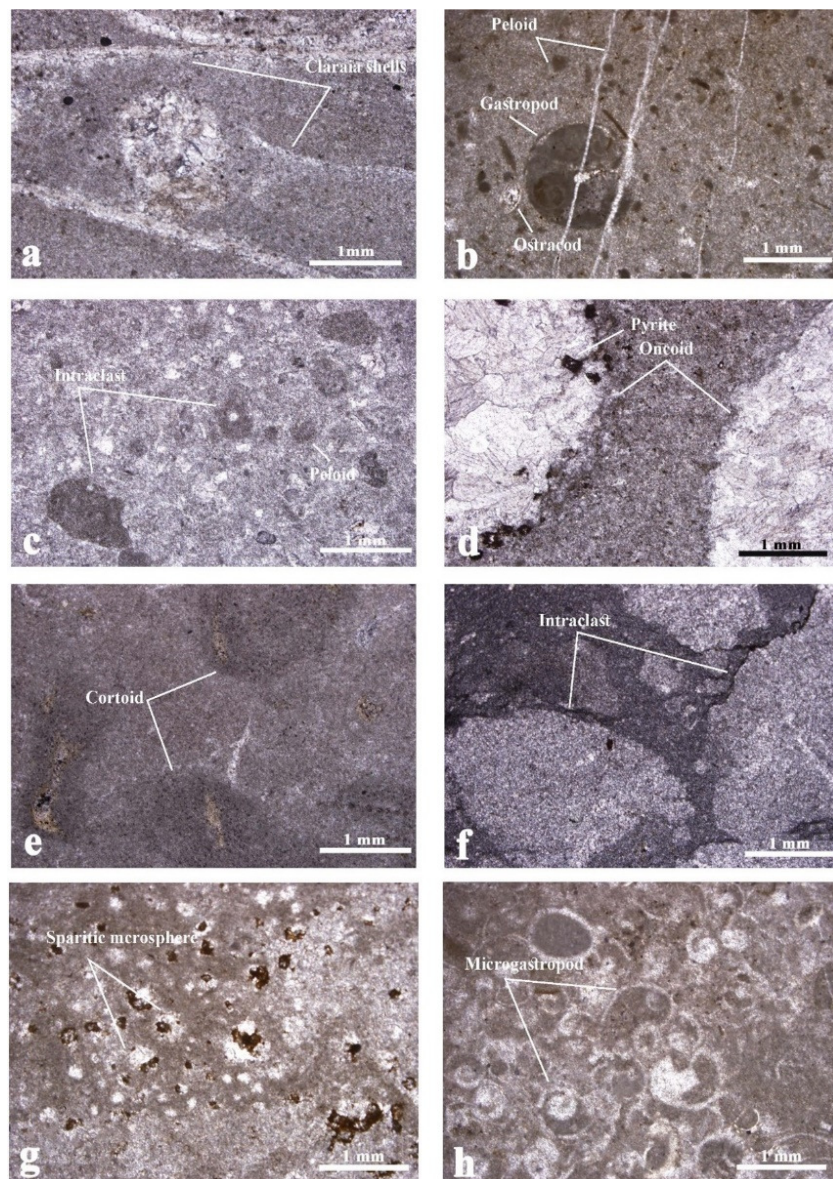
جز مشکلهای فرعی در این ریزرساره هستند. در زمینه آثاری از تبلور مجدد وجود دارد (شکل، ۸c).

زمینه میکریتی هستند و دارای جورشدگی ضعیف بوده و زاویه‌دار تا نیمه زاویه‌دار با قطر ۱ تا ۵ میلی‌متر هستند. پلولیدهای نیمه گرد تا زاویه‌دار و قطعات اسکلتی استراکد



شکل ۷. عکس‌هایی از مقاطع نازک تعدادی از نمونه‌های برداشت شده از آهک‌های پاراتیرولیتس‌دار، رس مرزی به سن پرمین بالایی و آهک‌های تریاس زیرین سازند الیکا در برش زال، ناحیه جلفا. (a) نمونه P-9، Sponge ostracod wackestone; (b) نمونه P-10، Keratos sponge packstone; (c) نمونه BC-1، Sponge spicule ostracod wackestone; (d) نمونه T-11، Mudstone; (e) نمونه T-11، آهک پاراتیرولیتس‌دار؛ (f) نمونه T-5، آهک‌های بخش زیرین سازند الیکا؛ (g) نمونه T-1، آهک‌های بخش زیرین تریاس زیرین سازند الیکا؛ (h) نمونه T-8، آهک‌های بخش زیرین تریاس زیرین سازند الیکا.

Fig. 7. Photomicrographs of some thin sections of collected samples from Upper Permian Paratirolites Limestone, "Boundary Clay" and Lower Triassic Elika Formation at Zal section, Julfa area. a) Sponge ostracod wackestone, sample P-9, Paratirolites Limestone; b) Keratos sponge packstone, sample P-10, Paratirolites Limestone; c) Sponge spicule ostracod wackestone, sample BC-1, "Boundary Clay"; d) Mudstone, sample T-11, limestones in the lower part of the Lower Triassic Elika Formation; e) Mudstone, pyrite-bearing limestones of the middle part of the Lower Triassic Elika Formation; f) Ostracod wackestone, sample T-5, limestone in the lower part of the Lower Triassic Elika Formation; g) Keratos sponge wackestone, sample T-1, basal beds of the lower limestones of the Lower Triassic Elika Formation; h) Peloidal wackestone, sample T-8, limestones of the lower part of the Lower Triassic Elika Formation.



شکل ۸. عکس‌هایی از مقاطع نازک تعدادی از نمونه‌های برداشت شده از آهک‌های تریاس زیرین سازند الیکا در برش زال، ناحیه جلفا. (a) Claraia wackestone, نمونه T-159، آهک‌های بخش میانی تریاس زیرین سازند الیکا، پوسته‌های کلارایا دچار تبلور مجدد شده‌اند؛ (b) Bioclastic peloidal wackestone، نمونه T-2، آهک‌های بخش زیرین تریاس زیرین سازند الیکا؛ (c) Intraclastic wackestone، نمونه T-255، آهک‌های بخش بالای تریاس زیرین سازند الیکا، آنکوییدها اسپارایتی شده‌اند و در اطراف آن‌ها میکریتی شدن ضعیفی مشاهده می‌شود. مجنبین بلورهای دولومیت بر روی آنکوییدها رشد کرده است؛ (d) Oncoidal floatstone، نمونه T-242، آهک‌های بخش بالای تریاس زیرین سازند الیکا، آنکوییدها اسپارایتی شده‌اند و در اطراف آن‌ها میکریتی شدن ضعیفی مشاهده می‌شود. هسته کور توپییدها عناصر اسکلتی است که فقط آثاری از آن مشاهده می‌شود؛ (e) Cortoidal floatstone، نمونه T-177، آهک‌های بخش میانی تریاس زیرین سازند الیکا، هسته کور توپییدها عناصر اسکلتی است که فقط آثاری از آن مشاهده می‌شود؛ (f) Sparitic microsphere wackestone، نمونه T-215، آهک‌های بخش بالای تریاس زیرین سازند الیکا؛ (g) Intraclastic floatstone، نمونه T-7، آهک‌های بخش بالای تریاس زیرین سازند الیکا؛ (h) Microgastropod packstone، نمونه T-2، آهک‌های بخش زیرین سازند الیکا، آهک‌های بخش زیرین سازند الیکا، که آثاری از میکریت لخته‌ای در زمینه آن مشاهده می‌شود که احتمالاً منشاً میکروبیال دارد.

**Fig. 8. Photomicrographs of some thin sections of the collected samples from Lower Triassic Elika Formation at Zal section, Julfa area.** a) Claraia wackestone, sample T-159, limestones of the middle part of the Lower Triassic Elika Formation, Claraia shells have been recrystallized; b) Bioclastic peloidal wackestone, sample T-2, limestones of the lower part of the Lower Triassic Elika Formation; c) Intraclastic wackestone, sample T-255, limestones of the upper part of the Lower Triassic Elika Formation; d) Oncoidal floatstone, sample T-242, limestones of the upper part of the Lower Triassic Elika Formation, oncoids are sparitic and with low micrite envelope, dolomite crystals have grown on oncoids; e) Cortoidal floatstone, sample T-177, limestones of the middle part of the Elika Formation, skeletal grains form the cortoid nucleus which are partly preserved; f) Sparitic microsphere wackestone, sample T-7, limestones of the lower part of the Lower Triassic Elika Formation; g) Microgastropod packstone, sample T-2, limestones of the Lower part of the Lower Triassic Elika Formation with clotted micrite in the background of microbial origin.

مجدد شده‌اند. گردشگی و جورشگی در این رخساره ضعیف است. قطعات اینتراکلاست بصورت نامنظم قرار گرفته‌اند. اندازه این قطعات اکثراً بیشتر از یک سانتی‌متر است و تا ۳ تا ۵ سانتی‌متر می‌رسد و مشابه با کنگلومرای درون حوضه‌ای با قلوه‌های مسطح است که در نهشته‌های تربیاس زیرین سایر نقاط دنیانیز گزارش شده است (ویگنان و تویچت، ۱۹۹۹؛ سانو و همکاران، ۲۰۱۱). علت ایجاد این کنگلومراها به کنده شدن سنگ‌آهک‌های سنگی شده توسط بر اثر توفان‌های شدید نسبت داده شده است (سپکاسکی، ۱۹۸۲؛ ویگنان و تویچت، ۱۹۹۹؛ پروس و همکاران، ۲۰۰۵) (شکل، ۸f).

**میکروسفر اسپارایتی و کستون:** این ریزرخساره در آهک‌های ورقه‌ای خاکستری روشن تا زرد روش در بخش زیرین سازند الیکا وجود دارد که حاوی آلوکم‌های کروی، بیضوی یا نامنظم است که داخل آن‌ها با کلسیت اسپاری پر شده است و اندازه آن‌ها تا ۱۸ میلی‌متر می‌رسد. این آلوکم‌ها بصورت جدا از هم یا بصورت فشرده دیده می‌شوند. میکروسفرها همراه با پیریت هستند که بین کلسیت اسپاری که درون میکروسفرها را پر می‌کند قرار گرفته است و در پاره‌ای موارد میکروسفرها دارای یک پوشش پیریتی کاملاً تیره هستند. علاوه بر میکروسفرها قطعات پوسته استراکود و یا پوسته کامل آن نیز به تعداد کم مشاهده می‌شود. میکروسفرهای اسپارایتی نامنظم ممکن است بقایای کربنوبیدها باشد که در این صورت تجمعات متراکم آن‌ها می‌تواند نماینده نهشته‌های بوجود آمد. توسط توفان باشد (لدا و همکاران، ۲۰۱۴). بعضی از نمونه‌های میکروسفر بسیار بزرگ بوده و می‌تواند نماینده آنکوییدها باشد که کاملاً اسپارایتی شده است. این ریزرخساره همچنین در رسوبات تربیاس زیرین جنوب چین (کرشا، ۱۹۹۹)، جنوب تبت (بروهولیر، ۲۰۰۹) و عمان (بود و همکاران، ۲۰۱۲) گزارش شده است (شکل، ۸g).

**میکروگاستروروپود پکستون:** این ریزرخساره در آهک‌های متوسط زرد کمرنگ بخش‌های قاعده‌ای سازند الیکا مشاهده می‌شود و میکروگاستروروپودها با تراکم نسبتاً بالا (بیش از ۷۰ درصد) جز مشکله‌های اصلی هستند که در یک زمینه میکریتی قرار گرفته‌اند و حجرات آن‌ها عمده‌تا با میکریت یا اسپارایت پر شده است. استراکد و سوزن اسفنج از عناصر فرعی می‌باشند. حفظشگی میکروگاستروروپودها

**آنکوییدال و کستون/فلوتستون:** این ریزرخساره در آهک‌های خاکستری نازک تا متوسط لایه قاعده‌ای سازند الیکا و در آهک‌های خاکستری متوسط بالایی سازند الیکا مشاهده می‌شود. آنکوییدها با چشم غیرمسلح در این آهک‌ها قابل رویت هستند (شکل‌های، f، ۵c، ۵d). آنکوییدها دارای اشکال کروی تا بیضوی بوده و جورشگی در آن‌ها متوسط می‌باشد. از عناصر فرعی این ریزرخساره استراکدها و اسفرهای اسپارایتی را می‌توان نام برد. حفظشگی آنکوییدها بسیار ضعیف می‌باشد بطوری که کل ساختار آنکویید با کلسیت اسپاری پرشده و فقط پوشش میکریتی طریفی در اطراف دانه‌ها وجود دارد. پیریت در حاشیه و بر روی دانه‌های آنکویید مشاهده می‌شود. آنکویید و کستون همچنین در مطالعات قبلی در آهک‌های تربیاس زیرین سازند الیکا گزارش شده است (هوراسک و همکاران، ۲۰۰۷؛ لدا و همکاران، ۲۰۱۴) (شکل، ۸d).

**کورتویید و کستون/فلوتستون:** این ریزرخساره در آهک‌های خاکستری تیره و متوسط لایه بخش‌های میانی سازند الیکا وجود دارد. این دانه‌ها اکثراً گرد شده هستند و پوشش‌های میکریتی در اطراف دانه‌ها در بک سمت هسته آنکوییدها بیشتر از طرف دیگر می‌باشند. هسته کورتوییدها را دانه‌های بیوکلاست تشکیل می‌دهند که در پاره‌ای موارد میکریتی شدن گستردہ باعث از بین رفتن ساختار اولیه قطعه اسکلتی شده است و کاملاً توسط میکریت جایگزین شده و یک قطعه میکریتی (اینتراکلاست) را بجا گذاشته است. شواهد پوشش‌های میکریتی مخرب در کورتوییدها مشهود است بطوری که در هیچ‌کدام از آلوکم‌ها مرز مشخصی و منظمی بین هسته و پوشش میکریتی وجود ندارد و آلوکم فاقد یک شکل مدور و مشخص هستند. این وضعیت ناشی از فعالیت فراوان جلبک‌ها برای سوراخ‌های ریز<sup>۱</sup> در داخل قطعات اسکلتی می‌باشد (شکل، ۸e).

**اینتراکلاستیک و کستون/فلوتستون:** این ریزرخساره ظاهری شبیه به برش دارد و در آهک‌های خاکستری متوسط تا ضخیم لایه در بخش‌های زیرین و میانی تربیاس زیرین سازند الیکا مشاهده می‌شود. قطعات اینتراکلاست در اندازه قلوه بوده و در رخمنون قابل رویت هستند (شکل‌های، g، ۵d). اینتراکلاست‌های میکریتی زاویه‌دار تا نیمه گرد شده هستند و در یک زمینه میکریتی قرار گرفته‌اند. هم کلاست‌ها و هم زمینه تا حدودی دچار تبلور

<sup>۱</sup> microboring

بخش بالایی تریاس زیرین سازند الیکا رخنمون دارند. میکروبیالیت‌های سازند الیکا بلافلصله در بالای مرز پرموتربیاس مانند برش دره همبست (طراز و همکاران، ۱۹۸۱؛ حیدری و همکاران، ۲۰۰۳؛ کورته و همکاران، ۲۰۰۴؛ لیو و همکاران، ۲۰۱۳؛ عارفی‌فرد و بود، ۲۰۲۲) ظاهر نمی‌شوند. استروماتولیت‌ها از تنابع لایه‌های تیره و روشن تشکیل شده‌اند. لایه‌های روشن در بعضی بخش‌ها دچار تبلور مجدد شده و یا دولومیتی شده‌اند. لایه‌های تیره از ورقه‌های بسیار نازک میکریتی (به ضخامت در حدود ۴۵۰ تا ۵۰۰ میکرون) تشکیل شده‌اند که بصورت بین لایه‌ای با لامینه‌های ضخیم‌تر (به ضخامت حدود میکرون ۹۰۰ تا ۱۰۰۰ میلی متر)، که متشکل از آلوکم‌های به دام افتاده نظیر قطعات اسکلتی ناشناخته، قطعات کوچک اسپارایتی و پلوبیدها هستند، قرار می‌گیرند. لامینه‌های میکریتی در بعضی موارد بسیار تیره بوده و همراه با بلورهای پیریت می‌باشند. همچنین در این استروماتولیت‌ها حفراتی دیده می‌شوند که با کلسیت‌اسپاری پر شده‌اند و موازی با سطح لایه‌بندی هستند (شکل‌های، ۹d,e).

**تروموبیولیت باندستون:** تروموبیولیت‌ها در مقایسه با استروماتولیت‌ها در افق‌های محدودی در بخش‌های زیرین و سازند الیکا در برش مورد مطالعه مشاهده می‌شوند، بطوري که تنها در افق‌های محدودی در بخش‌های زیرین و میانی سازند الیکا وجود دارد. تروموبیولیت‌ها با فابریک لخته‌ای در روی زمین قابل شناسایی هستند (شکل ۵e). در مقاطع نازک تروموبیولیت‌ها بصورت میکریت لخته‌ای و فاقد شکل، که ناشی از تشکیل میکریت به واسطه فعالیت میکروبی می‌باشد، وجود دارد (شکل، ۹f) که در بین لخته‌ها آلوکم‌هایی نظیر استراکد، پلوبیدها، میکروسفرهای اسپارایتی و کلسیت‌اسپاری وجود دارد (شکل، ۹f).

**دولواسپارایت (دولومیت‌های متوسط بلور):** این دولومیت‌ها در افق‌های محدودی در بخش‌های زیرین و میانی سازند الیکا مشاهده می‌شود. اندازه بلورها بین ۶۲ تا ۲۶۰ میکرون (میانگین ۱۶۰ میکرون) تغییر می‌کند. این نوع بافت معادل زینوتاپیک<sup>۳</sup> فریدمن (۱۹۶۵)، زینوتاپیک<sup>۳</sup> گرگ و سیبیلی (۱۹۸۴) و Nonplanar-A مازولو (۱۹۹۲) است. بافت این دولومیت‌ها از موزاییکی از بلورهای بی‌شکل با مرز بین بلوری از نوع غیرمسطح تشکیل شده‌اند. در این نوع دولومیت‌ها هیچگونه آثاری از بافت اولیه مشاهده

ضعیف می‌باشد. جورشدگی ضعیف تا متوسط و گرددشگی نیز متوسط است. میکروگاستروپود پکستون به عنوان تمپستایت در موقعیت رمپ میانی در نظر گرفته شده‌اند (عارضی‌فرد و بود، ۲۰۲۲). این نهشته‌ها عمده‌تا در مناطق شده‌اند (کالوت و تاکر، ۱۹۸۸؛ کلومبی و همکاران، ۲۰۱۴). نهشته‌های توفانی سازند الیکا در برش مورد مطالعه دارای ضخامت بسیار کم در حد چند سانتی‌متر بوده و دانه ریز هستند و ذرات غالب آن گاستروپود هستند (شکل، ۸h).

**اییدال گرینستون:** این ریزرساره در آهک‌های خاکستری متوسط لایه بخش بالایی سازند الیکا مشاهده می‌شود که متشکل از گرینستونی است که مشکله‌های آن عمده‌تا ایید می‌باشد. اییدها دارای اندازه کوچک تا متوسط می‌باشد با اندازه‌هایی بین ۰/۱ تا ۱/۵ میلی‌متر است و به اشکال کروی و بیضوی دیده می‌شوند. بیش از ۹۰ درصد آلوکم‌ها ایید هستند و کمتر از ۱ درصد آلوکم‌ها را عناصر اسکلتی تشکیل می‌دهند. جورشدگی در اییدها ضعیف تا متوسط است. اییدها به اشکال کروی، بیضوی و کشیده دیده می‌شوند. هسته اییدها شامل قطعات گرد شده‌ای از اییدهای دیگر، قطعات اسکلتی و یا کلسیت‌اسپارایتی است. اییدهای سطحی و مرکب نیز در این رخساره مشاهده می‌شود. پوشش‌های دور هسته اییدها فشرده و فاقد ویژگی خاصی بوده و یا ممکن است لامینه‌های ظریفی را نشان دهند که یادآور اییدهای میکریتی است. پوشش‌های میکریتی در قطعات اسکلتی معدودی که در این رخساره وجود دارد نیز مشاهده می‌شود. در بخش‌های زیرین این رخساره اییدهایی هسته اییدها کاملاً اسپارایتی شده و پوشش‌های دور هسته کاملاً میکریتی بوده و هیچ ساختاری را نشان نمی‌دهد. اییدها عمده‌تا با اندازه کوچک (در حدود ۰/۵ میلی‌متر) بوده و جورشدگی متوسط دارند. در ایید گرینستونی که در بخش‌های بالایی این ریزرساره دیده می‌شود، حفظشگی اییدها ضعیف بوده و تبلور مجدد و دولومیتی شدن گستردۀ است بطوري که فقط شبحی از اییدها مشاهده می‌شود. جورشدگی و گرددشگی دانه‌های ایید ضعیف تا متوسط است (شکل‌های، ۹a,b,c).

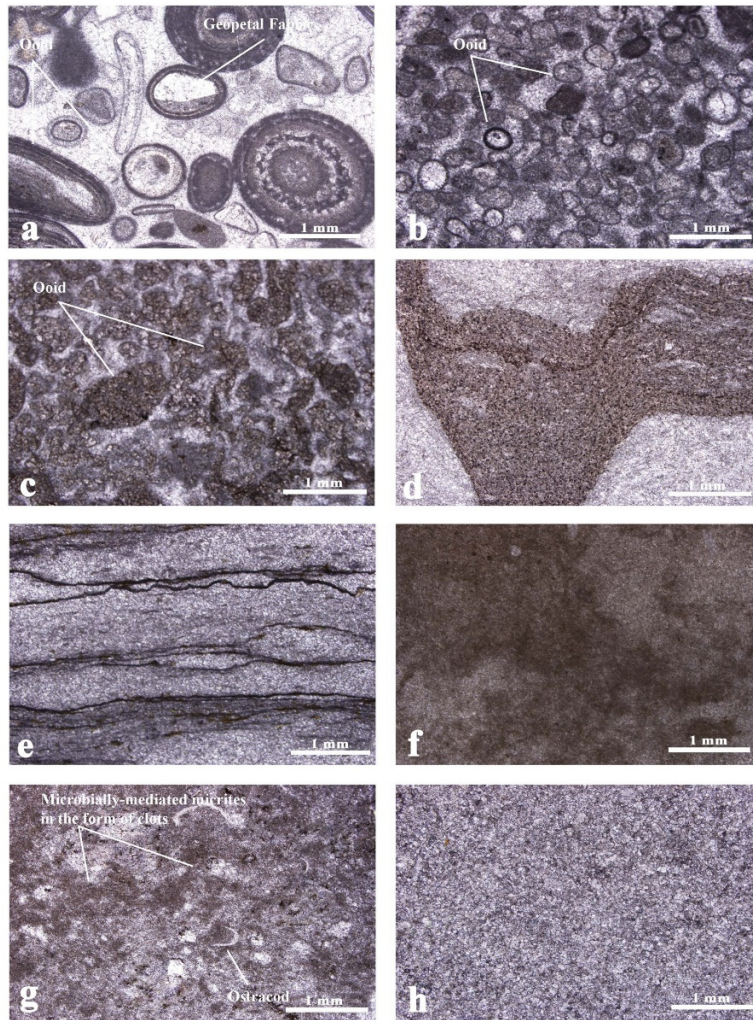
**استروماتولیت باندستون:** استروماتولیت‌ها در برش مورد مطالعه در بخش‌های مختلف برش مورد مطالعه شامل لایه‌های بالای بخش زیرین، بخش میانی و لایه‌های زیرین

<sup>۳</sup> Xenotopic-A

<sup>۲</sup> Xenotopic

می‌رسد که دولواسپارایت‌های سازند الیکا در اثر تبلور دولومیکرواسپارایت‌ها و یا جانشینی سنگ‌آهک اولیه در دمای بالا و در طی تدفین بوجود آمده باشد (شکل، ۹h).

نمی‌گردد. دولومیت‌های با بافت متوسط بلور یا دولواسپارایت‌ها در دمای بالا جانشین سنگ‌آهک می‌شوند و بافت غیرمسطح را بوجود می‌آورند (گرگ و سیبیلی، ۱۹۸۴؛ گرگ، ۱۹۸۸؛ گرگ و شلتون، ۱۹۹۰). بنظر



شکل ۹. عکس‌هایی از مقاطع نازک تعدادی از نمونه‌های برداشت شده از آهک‌های تربیس زیرین سازند الیکا در برش زال، ناحیه جلفا. (a) Ooidal grainstone نمونه T-259 آهک‌های بخش بالایی تربیس زیرین سازند الیکا، نمونه T-257 آهک‌های بخش بالایی تربیس زیرین سازند الیکا، هسته اییدها اسپارایتی شده و بعضی از آن‌ها کاملاً ساختار خود را از دست داده است؛ (c) Ooidal grainstone نمونه T-60 آهک‌های بخش بالایی تربیس زیرین سازند الیکا، اییدها دولومیتی شده‌اند و فاقد ساختار می‌باشند و تنها شبیه از ایید را نشان می‌دهند؛ (d) Stromatolite boundstone نمونه T-63 آهک‌های بخش بالایی تربیس زیرین تربیس زیرین سازند الیکا، (e) Stromatolite boundstone نمونه T-217 آهک‌های بخش میانی تربیس زیرین سازند الیکا؛ (f) Thrombolite boundstone نمونه T-147 آهک‌های بخش میانی تربیس زیرین سازند الیکا، در این آهک‌ها میکریت که توسط میکروب‌ها ایجاد شده به فرم لخته‌ای و بی‌شکل مشاهده می‌شود؛ (g) Bioclastic wackestone نمونه T-15 آهک‌های بخش بالایی تربیس زیرین سازند الیکا.

Fig. 9. Photomicrographs of some thin sections of the collected samples from Lower Triassic Elika Formation at Zal section, Julfa area. a) Ooidal grainstone, sample T-259, limestones of the upper part of the Lower Triassic Elika Formation; b) Ooidal grainstone, sample T-257, limestones of the upper part of the Lower Triassic Elika Formation, ooids are with sparitic nucleus that some of them have lost their original structures; c) Ooidal grainstone, sample T-60, limestones of the upper part of the Lower Triassic Elika Formation, ooids are dolomitized and have no structure and only show ghost of ooids; d) Stromatolite boundstone, sample T-217, limestones of the middle part of the Lower Triassic Elika Formation; e) Thrombolite boundstone, sample T-147, limestones of the middle part of the Lower Triassic Elika Formation; f) Thrombolite boundstone, sample T-147, limestones of the lower part of the Lower Triassic Elika Formation, in this limestones micrite is in the form of clots and amorphous shapes; g) Bioclastic wackestone, sample T-15, limestones of the lower part of the Lower Triassic Elika Formation; h) Dolosparite, sample T-212, limestones of the upper part of the Lower Triassic Elika Formation.

مرزی دارای یک تفاوت لیتولوژی شاخص با آهک پاراتیرولیتیس دار زیرین می‌باشد بطوری که غالباً از رسوبات شیلی تشکیل شده است. محیط رسوبی رس مرزی بحث برانگیز بوده است زیرا عده‌ای برای آن یک موقعیت شلف بیرونی کم انرژی را در نظر گرفته‌اند (ریچوز و همکاران، ۲۰۱۰؛ لدا و همکاران، ۲۰۱۴؛ گلیوا و همکاران، ۲۰۲۰) و عده‌ای دیگر یک موقعیت دریایی کم عمق را برای آن پیشنهاد کرده‌اند (محاط آقایی و همکاران، ۲۰۰۹). هیچ‌گونه شواهدی از بیرون‌زدگی و فرسایش در رس مرزی وجود ندارد اما بر اساس تغییر رنگ از قرمز به سبز کمرنگ در شیل‌های بالایی رس مرزی به نظر می‌رسد که یک شرایط کم عمق در بخش بالایی رس مرزی بوجود آمده است (عارفی‌فرد و بود، ۲۰۲۲). این شرایط کم عمق‌شدنگی نباید با بیرون‌زدگی اشتباہ شود اما می‌تواند به عنوان یک تغییر در سطح آب دریا و موقعیت رسوب‌گذاری از شلف بیرونی مربوط به اسفنج پکستون در راس آهک پاراتیرولیتیس دار به موقعیت شلف میانی در بخش بالایی رس مرزی در نظر گرفته شود.

شروع رسوب‌گذاری نهشته‌های کربناته جدید با نام سازند الیکا با لایه‌های دارای میکروگاستروپود (بلروفونتیدها) پکستون است که منعکس کننده تمپستیات‌ها در موقعیت رمپ میانی کم عمق‌تر است. تغییر رخساره از آهک‌های حاوی فسیل چنگسینگین به آهک‌های با تنوع فسیلی کم و اندک تریاس زیرین استیلای شرایط سخت برای زیست موجودات را بعد از انقراض انتهای پرمین نشان می‌دهد اگرچه حضور میکروگاستروپودها، استراکدها و کرینوپیدها دلالت بر وجود شرایط دریایی نسبتاً مساعد و تا حدودی اکسیژن‌دار برای زیست محدود این موجودات می‌باشد. دلیل حضور کم تجمعات فسیلی در تریاس زیرین ناشی از استرس‌های محیطی پایدار و تاخیر طولانی مدت در بهبود شرایط محیطی برای زیست موجودات می‌باشد (وی و همکاران، ۲۰۱۵؛ سانگ و همکاران، ۲۰۱۸). ریزرساره میکروگاستروپود پکستون با پلوبیدال بایوکلاست و کستون و بایوکلاستیک و کستون همراه با اسفرهای پر شده با چنگسیت‌اسپاری مربوط به سنگ‌آهک‌های ورقه‌ای لایه‌های کلارایا سازند الیکا دنبال می‌شود. تفسیر منشا اسفرهای مشکل است اما احتمالاً بتایای اسکلتی هستند که توسط چنگسیت‌اسپاری پر شده‌اند. اسفرهای اسپارایتی در نهشته‌های تریاس زیرین آباده (عارضی‌فرد و بود، ۲۰۲۲) و

## ۶- محیط رسوب‌گذاری

در آهک پاراتیرولیتیس دار به سن چنگسینگین بالایی که بخش قاعده‌ای برش مورد مطالعه در برش زال را تشکیل می‌دهد با داشتن محتويات فونایی متشکل از آمونویید، استراکد، سوزن اسفنج، رادیولر و کربنویید، ریزرساره‌هایی غالباً با زمینه میکریتی (مانند بیوکلاستیک و کستون) و آشفتگی زیستی شدید دلالت بر یک محیط شلف بیرونی رسوب‌گذاری آرام و عمیق و کم انرژی با نرخ پایین رسوب‌گذاری را دارند. وجود مجموعه‌های فراوانی از استراکدهای بنتیک در چنگسینگین پسین در برش زال دلالت بر وجود اکسیژن فراوان و کافی در آهک پاراتیرولیتیس دار دارد (کوزور، ۲۰۰۷؛ گلیوا و همکاران، ۲۰۲۰). وجود موقعیت آب‌های عمیق در نهشته‌های بالایی چنگسینگین با نبود شواهد فرسایش در برش ارس (گلیوا و همکاران، ۲۰۲۰) و سایر رسوبات همزمان در آباده و برش آلی‌باشی (ریچوز و همکاران، ۲۰۱۰؛ لدا و همکاران، ۲۰۱۴) تشخصی داده شده است. اسفنج کراتوس پکستون در گذر از آهک پاراتیرولیتیس دار به رس مرزی با داشتن یک شبکه فیبری چنگسیتی شده از اسفنج‌هایی که در یک ماتریکس میکریتی قرار گرفته‌اند هنوز شرایط آب‌های عمیق را نشان می‌دهد. ریزرساره اسفنج پکستون که بدبانی حادثه انقراض انتهای پرمین بوجود آمده همانطوری که توسط لو و ریترن (۲۰۱۴) و بود و همکاران (۲۰۲۱) نیز گزارش شده، اولین بار عنوان یک نشانه‌ای از انقراض انتهای پرمین توسط لدا و همکاران (۲۰۱۴) و گلیوا و همکاران (۲۰۲۰) و همچنین به عنوان رخساره بعد از انقراض توسط هیندل و همکاران (۲۰۱۸) و فوستر و همکاران، (۲۰۲۰) از آن نام برده شده است. همزمانی فابریک اسفنج کراتوس با رخساره‌های ترومبلیت به سن گریسباخین تا دینارین به عنوان یک ویژگی بعد از انقراض در نظر گرفته شده است (لو و ریترن، ۱۴۰۰؛ فریستبیچلر و همکاران، ۲۰۱۸؛ هیندل و همکاران، ۲۰۱۸؛ بود و همکاران، ۲۰۲۱). از طرف دیگر، گذر از آهک پاراتیرولیتیس دار به رس مرزی به سن بالایی ترین بخش چنگسینگین نشان دهنده توقف رسوب‌گذاری کربناته و پایان تسلط فونا بوسیله استراکدهای با پوسته کوچک همراه با کنودونت‌ها و آمونوپیدهای می‌باشد (قادری و همکاران، ۲۰۱۴؛ کورن و همکاران، ۲۰۱۶؛ ۲۰۲۱a,b) که خود نشانه‌ای از تغییر محیطی اصلی است. رخساره رس

زیرین در برش زال شرایط آب‌های کم عمق صورت گرفته که با نوسانات انرژی همراه بوده است.

#### ۷- نتیجه‌گیری

در این تحقیق جزیات تغییرات ریزخساره و محیط رسوبی توالی پرمین بالایی-تریاپس زیرین در برش زال در شمال غرب ایران مورد بررسی قرار گرفت. گذر از نهشته‌های پرمین بالایی به تریاپس زیرین با تغییرات رخساره‌ای دریایی عمیق (رمب بیرونی) به محیط کم عمق شلف درونی مشخص می‌شود. وجود اسفنج کراتوس وکستون، میکروگاستروپود پکستون و پلوبیدال وکستون در قاعده نهشته‌های تریاپس زیرین در برش مورد مطالعه نشان می‌دهد که بر خلاف برش دره همبست در ناحیه آباده تشکیلات میکروبیال در شروع تریاپس در این برش تشکیل نشده است. با این وجود، میکریت لخته‌ای با منشا میکروبی در لایه‌های قاعده‌ای برش زال قابل تشخیص می‌باشد. حضور اسفنج کراتوس در لایه‌های رس مرزی و لایه قاعده‌ای سازند الیکا به عنوان فابریک بعد از انفراص برای اولین بار در این برش گزارش می‌شود. بر خلاف گزارش‌های قبلی تشکیلات میکروبیال در نهشته‌های تریاپس زیرین سازند الیکا در برش زال بیشتر از نوع استروماتولیت بوده و به مقدار کمتر شامل ترومبلیت و میکریت لخته‌ای و کورتوبیید می‌باشند که عمدتاً در لایه‌های بالایی بخش زیرین و بخش‌های میانی و بالایی سازند الیکا گسترش دارند. هرچند که در بخش‌های قاعده‌ای و بطور محدود در بخش‌های میانی و بالایی توالی مورد مطالعه حضور عناصر اسکلتی نظیر استراکد، اسفنج و دوکفه‌ای مشاهده می‌شود ولی دارای فراوانی و تنوع کم بوده که استیلای استرس‌های محیطی طولانی مدت در محیط را نشان می‌دهد. با توجه به گسترش و نوع ریزخساره‌های سازند الیکا در برش مورد مطالعه، محیط رسوبی آن از نوع کم عمق با نوسانات انرژی بوده است. وجود اینتراکلاستیک فلوتستون (در بخش‌های زیرین و میانی) و اییدال گرینستون (در بخش‌های بالایی) شرایط انرژی بالا، وجود بایوکلاستیک وکستون، پلوبیدال وکستون، و مادستون شرایط انرژی پایین و وجود تشکیلات میکروبیال شرایط انرژی متوسط را نشان می‌دهد.

همچنین عمان و جنوب چین (کرشاو و همکاران، ۲۰۱۱، ۲۰۱۲ و همکاران، ۲۰۱۲، لدا و همکاران، ۲۰۱۴) گزارش شده‌اند. میکروگاستروپود پکستون و بایوکلاستیک وکستون در قاعده لایه‌های کلارایا همچنین دارای یک ظاهر لخته‌ای هستند که منشا میکروبی را پیشنهاد می‌کند اما هیچگونه تشکیلات میکروبی در قاعده نهشته‌های تریاپس زیرین در برش زال قابل شناسایی نیست. محیط رسوب گذاری بخش‌های قاعده‌ای سازند الیکا در مقایسه با آهک پاراتیرولیت‌دار و رس مرزی زیرین موقعیت شلف درونی را نشان می‌دهد. وجود آنکوپیدال وکستون در بالای بخش‌های قاعده‌ای لایه‌های کلارایا به یک روند به سمت بالا کم عمق شونده دلالت دارد. وجود اینتراکلاستیک وکستون/فلوتستون در بخش‌های زیرین و بالایی برش مورد مطالعه نشان دهنده وجود شرایط و فعلیت توافقی با انرژی بالا بصورت دوره‌ای در طی نهشته شدن رسوبات تریاپس زیرین بوده که منجر به کنده شدن سیمان آغازی در کف دریا و خرد شدن آنها و نهشته شدن مجدد آنها بعد از جابجایی اندک شده است (پروس و همکاران، ۲۰۰۵؛ گلیوا و همکاران، ۲۰۲۰). نهشته‌های میکروبی بصورت عمدتاً استروماتولیت، ترومبلیت به تعداد محدودتر و همچنین به شکل میکریت لخته‌ای، و کورتوبیدها در بخش‌های بالایی بخش زیرین و بخش‌های میانی و بالایی تریاپس زیرین الیکا در موقعیت آب‌های کم عمق شلف داخلی مشاهده می‌شوند. وجود نهشته‌های میکروبی در رسوبات تریاپس زیرین در حوضه تیپس نظری برش همبست (حیدری و همکاران، ۲۰۰۳؛ کورته و همکاران، ۲۰۰۴؛ ریچوز و همکاران، ۲۰۱۰، عارفی‌فرد و بود، ۲۰۲۲)، برش ارس (لدا و همکاران، ۲۰۱۴؛ فریزنبیچلر و همکاران، ۲۰۱۸؛ گلیوا و همکاران، ۲۰۲۰)، برش تاش و کلاریز (ستوهیان، ۱۳۸۷، ۱۳۹۳)، برش آلی باشی (لدا و همکاران، ۲۰۱۴)، برش کوه سورمه (هیندل و همکاران، ۲۰۱۸)، برش شهرضا (ریچوز، ۲۰۰۶) و برش کوه دنا (هیندل و همکاران، ۲۰۱۵) گزارش شده است. حضور الیتیک گرینستون در بخش‌های بالایی تریاپس زیرین سازند الیکا نشان دهنده یک محیط دریایی پرانرژی است. از طرف دیگر، بر روی این ریزخساره دولومیت‌ها قرار گرفته‌اند که به دلیل اینکه هیچگونه آثاری از بافت اولیه را نشان نمی‌دهند تفسیر محیط رسوبی آن‌ها بسیار مشکل است. بطور کلی رسوب گذاری در طی تریاپس

- Tethyan palaeoceanography. *Sedimentary Geology*, 222 (3): 314-332. doi.org/10.1016/j.sedgeo.2009.10.003.
- BadriKolalo, N., Hamidi, B., Vaziri, S. H., Aghanabati, S. A (2015) Biostratigraphic Correlation of Elikah Formation in Zal Section (Northwestern Iran) with Ruteh and Type Sections in Alborz Mountains Based on Conodonts. *Iranian Journal of Earth Sciences*, 7: 78-88.
- Besse, J., Torcq, F., Gallet, Y., Ricou, L. E., Krystyn, L., Saidi, A (1998) Late Permian to Late Triassic paleomagnetic data from Iran: constraints on the migration of the Iranian block through the Tethyan Ocean and initial destruction of Pangea. *Geophysical Journal International*, 135: 77-92. doi.org/10.1046/j.1365-246X.1998.00603.x.
- Brunet, M. F., Wilmsen, M., Granath, J. W (2009) South Caspian to Central Iran Basins. Geological Society of London, Special Publications, 312: 1-6. doi.org/10.1144/SP312
- Calvet, E., Tucker, M. E (1988) Outer ramp carbonate cycles in the Upper Muschelkalk, Catalan Basin, NE Spain. *Sedimentary Geology*, 57: 185-198. doi.org/10.1016/0037-0738(88)90026-7.
- Colombie, C., Badenas, B., Aurell, M., Gotz, A. E., Bertholon, S., Boussaha, M (2014) Feature and duration of meter-scale sequences in a storm-dominated carbonate ramp setting (Kimmeridgian, northeastern Spain). *Sedimentary Geology*, 312: 94-108. doi.org/10.1016/j.sedgeo.2014.08.002.
- Erwin, D. H., Bowring, S. A., Jin, Y. G (2002) The end-Permian mass extinctions. In: Koeberl, C., MacLeod, K. G. (Eds.), *Catastrophic Events and Mass Extinctions: Impacts and Beyond*. Geological Society of America Special Paper, 356: 363-383. 10.1130/0-8137-2356-6.363.
- Flügel, E (2010) *Microfacies of Carbonate Rocks: Analysis, Interpretation and Application*: Berlin. Springer-Verlag, Heidelberg, New York, 984p.
- Foster, W. J., Lehrmann, D. J., Yu, M., Ji, L., Martindale, R. C (2018) Persistent environmental stress delayed the recovery of marine communities in the aftermath of the Latest Permian mass extinction. *Palaeogeography, Palaeoclimatology, Palaeoecology*, 33 (4): 338-353. 10.1002/2018pa003328.
- Friedman, G. M (1965) Terminology of Crystallization Textures and Fabrics in Sedimentary Rocks. *Journal of Sedimentary Research*, 35: 643-655.
- Friesenbichler, E., Richoz, S., Baud, A., Krystyn, L., Sahakyan, L., Vardanyan, S., Peckmann, J., Reitner, J., Heindel, K (2018) Sponge-microbial build-ups from the lowermost Triassic Chanakhchi section in southern Armenia: **References**
- Alavi, M (1991) Tectonic map of the Middle East, Geological survey of Iran. Scale: 1, 5000000.
- Alavi, M (1996) Tectonostratigraphic synthesis and structural style of the Alborz Mountain system in northern Iran. *Journal of Geodynamics*, 21 (1): 1-33. doi.org/10.1016/0264-3707(95)00009-7.
- Algeo, T. J., Twitchett, R. J (2010) Anomalous Early Triassic sediment fluxes due to elevated weathering rates and their biological consequences: *Geology*, 38: 1023-1026. doi.org/10.1130/G31203.1.
- Algeo, T. J., Chen, Z. Q., Fraiser, M. L., Twitchett, R. J (2011) Terrestrial-marine teleconnections in the collapse and rebuilding of Early Triassic marine ecosystems. *Palaeogeography, Palaeoclimatology, Palaeoecology*, 308: 1-11. doi.org/10.1016/j.palaeo.2011.01.011.
- Arefifard, S (2017) Foraminiferal-based paleobiogeographic reconstructions in the Carboniferous of Iran and its implications for the Neo-Tethys opening time: a synthesis. *Geologica Acta*, 15 (2): 1-17. 10.1344/geologicaacta2017.15.2.5.
- Arefifard, S., Baud, A (2022) Depositional environment and sequence stratigraphy architecture of continuous Upper Permian and Lowermost Triassic deep marine deposits in NW and SW Iran. *Palaeogeography, Palaeoclimatology, Palaeoecology*, 603: 111187. doi.org/10.1016/j.palaeo.2022.111187.
- Babakhui, G., Adabi, M. H., Moalemi, A., Lotfpour, M (1386) Determining the primary mineralogical composition of the carbonates of the lower part of Elika Formation in Jahan region using geochemical and petrographic studies, 26th Conference of Earth Sciences, Geological Survey and Mineral Exploration of Iran, Tehran (in Persian).
- Baud, A., Richoz, S., Beauchamp, B., Cordey, F., Grasby, S., Henderson, C.M., Krystyn, L., Nicora, A (2012) The Buday'ah Formation, Sultanate of Oman: a Middle Permian to Early Triassic oceanic record of the Neotethys and the late Induan microsphere bloom. *Journal of Asian Earth Sciences*, 43 (1): 130-144. doi.org/10.1016/j.jseas.2011.08.016.
- Baud, A., Richoz, S., Brandner, R., Krystyn, L., Heindel, K., Mohtat, T., Mohtat-Aghai, P., Horacek, M. (2021) Sponge takeover from End-Permian Mass Extinction to early Induan Time: Records in Central Iran Microbial Buildups. *Frontiers in Earth Science*, 9: 1-23. doi.org/10.3389/feart.2021.586210.
- Bruhwiler, T., Goudemand, N., Galfetti, T., Bucher, H., Baud, A., Ware, D., Hermann, E., Hochuli, P. A., Martini, R (2009) The Lower Triassic sedimentary and carbon isotope records from Tulong (South Tibet) and their significance for

- Gondwana Research, 61: 187-202. doi.org/10.1002/2015TC003926.
- Heydari, E., Hassanzadeh, J., Wade, W. J., Ghazi, A. M (2003) Permian-Triassic boundary interval in the Abadeh section of Iran with implications for mass extinction: part 1- Sedimentology. Palaeogeography, Palaeoclimatology, Palaeoecology, 193: 405-423. doi.org/10.1016/S0031-0182(03)00258-X.
- Jahani, D (1997) Sedimentology and sedimentary environment of intra-basin conglomerates with flat clasts of the lower part of the Elika Formation (Lower Triassic) in Alborz Mountains, Scientific Quarterly Journal of Geosciences, 110: 47-54 (in Persian). doi.org/10.22071/gsj.2018.109715.1340.
- Kershaw, S., Zhang, T., Lan, G. (1999) A microbialite carbonate crust at the Permian-Triassic boundary in South China, and its palaeoenvironmental significance. Palaeogeography, Palaeoclimatology, Palaeoecology, 146 (1-4): 1-18. doi.org/10.1016/S0031-0182(98)00139-4.
- Kershaw, S., Crasquin, S., Li, Y., Collin, P. Y., Forel, M. B., Mu, X., Baud, A., Wang, Y., Xie, S., Maurer, F., Guo, L (2011) Microbialites and global environmental change across the Permian-Triassic boundary: a synthesis. Geobiology, 10: 25-47. doi.org/10.1111/j.1472-4669.2011.00302.x.
- Korn, D., Ghaderi, A., Leda, L., Schobben, M., Ashouri, A. R (2016) The ammonoids from the late Permian Paratirolites Limestone of Julfa (East Azerbaijan, Iran). Journal of Systematic Palaeontology, 14: 841-890. doi.org/10.1080/14772019.2015.1119211.
- Korn, D., Hairapetian, V., Ghaderi, A., Leda, L., Schobben, M., Akbari, A (2021a) The Changhsingian (late Permian) ammonoids from Baghuk Mountain (Central Iran). European Journal of Taxonomy, 776: 1-106. doi.org/10.5852/ejt.2021.776.1559.
- Korn, D., Leda, L., Heuer, F., Moradi Salimi, H., Farshid, E., Akbari, A., Schobben, M., Ghaderi, A., Struck, U., Gliwa, J., Ware, D., Hairapetian, V (2021b) Baghuk Mountain (Central Iran): high-resolution stratigraphy of a continuous Central Tethyan Permian-Triassic boundary section. Fossil Record, 24 (1): 171-192. doi.org/10.5194/fr-24-171-2021, 2021.
- Korte, C., Kozur, H. W., Joachimski, M. M., Strauss, H., Veizer, J., Schwark, L (2004) Carbone, sulfur, oxygen and strontium isotope records, organic geochemistry and biostratigraphy across the Permian/Triassic boundary in Abadeh, Iran. International Journal of Earth Sciences, 9: 565-581. doi.org/10.1007/s00531-004-0406-7.
- Kozur, H. W (2007) Biostratigraphy and event stratigraphy in Iran around the Permian-Triassic Microfacies and stable carbon isotopes. Palaeogeography, Palaeoclimatology, Palaeoecology, 490: 653-672. doi.org/10.1016/j.palaeo.2017.11.056.
- Ghaderi, A., Garbelli, C., Angiolini, L., Ashouri, A. R., Korn, D., Rettori, R., Gharraie, M. H. M (2014) Faunal change near the end-Permian extinction: the brachiopods of the Ali Bashi Mountains, NW Iran. Rivista Italiana di Paleontologia e Stratigrafia, 120: 27-59. 10.13130/2039-4942/6048.
- Ghaderi Barmi, S (1393) Facies and sedimentary environment of Elika Formation in west of Damghan (Shamshirzanan Mountain), M.Sc. thesis, Islamic Azad University, Shahrood branch (in Persian).
- Glaus, M (1964) Trias und oberperm in Zentralen Elburz (Persien). Eclogae Geologicae Helvetiae, 57: 497-508.
- Gliwa, J., Ghaderi, A., Leda, L., Schobben, M., Tomás, S., Foster, W. J., Forel, M.-B., Ghanizadeh Tabrizi, N., Grasby, S. E., Struck, U., Ashouri, A. R., Korn, D (2020) Aras Valley (Northwest Iran): high-resolution stratigraphy of a continuous central Tethyan Permian/Triassic boundary section. Fossil Record, 23: 33-69. doi.org/10.5194/fr-23-33-2020.
- Golshani, F., Partoazar, H., Seyed-Emami, K (1986) Permian-Triassic Boundary in Iran. Memorie della societa geologica italiana, 34: 257-262.
- Gregg, J. M (1988) Origins of dolomite in the offshore facies of the Bonneterre Formation (Cambrian), southeast Missouri, in: Shukla, V., Baker, P. A. (Eds.), Sedimentology and Geochemistry of Dolostones: Society Economic Paleontologists and Mineralogists Special publication, 43: 67-83. doi.org/10.2110/pec.88.43.0067.
- Gregg, J. M., Shelton, K. L (1990) Dolomitization and Dolomite Neomorphism in the Back Reef Facies of the Bonneterre and Davis Formations (Cambrian), Southeastern Missouri. Journal of Sedimentary Research, 60: 549-562.
- Gregg, J. M., Sibley, D. F (1984) Epigenetic Dolomitization and the Origin of Xenotopic Dolomite Texture. Journal of Sedimentary Research, 54: 908-931.
- Hassanzadeh, J., Wernicke, B. P (2016) The Neotethyan Sanandaj-Sirjan zone of Iran as an archetype for passive margin-arc transitions. Tectonics 35: 586-621. doi.org/10.1002/2015TC003926.
- Heindel, K., Foster, W. J., Richoz, S., Birgel, D., Roden, V. J., Baud, A., Brandner, R., Krystyn, L., Mohtat, T., Koşun, E., Twitchett, R. J., Reitner, J., Peckmann, J (2018) The formation of microbial-metazoan bioherms and biostromes following the latest Permian mass extinction.

- Natal'in, B. A., Sengör, A. M. C (2005) Late Palaeozoic to Triassic evolution of the Turan and Scythian platforms: the pre-history of the Palaeo-Tethyan closure. *Tectonophysics*, 404: 175-202. doi.org/10.1016/j.tecto.2005.04.011.
- Pashaei, H., Hamdi, B., Aganbati, S. A (1391) Biostratigraphy of Triassic deposits in Ruteh section in Alborz Mountains (north of Tehran), *Scientific Quarterly Journal of Geosciences*, 86: 11-18 (in Persian).
- Payne, J. L., Lehrmann, D. J., Wei, J., Orchard, M. J., Schrag, D. P., Knoll, A. H (2004) Large perturbations of the carbon cycle during recovery from the end-Permian extinction. *Science*, 305: 506-509. 10.1126/science.1097023.
- Payne, J. L., Lehrmann, D. J., Wei, J., Knoll, A. H (2006) The pattern and timing of biotic recovery from the end-Permian extinction on the Great Bank of Guizhou, Guizhou Province, China. *Palaeos* 21:63-85. doi.org/10.2110/palo.2005.p05-12p.
- Pourheydar, S. Z., Adabi, M. H., Mousavi Tasouj, M. R., Sadeghi, A (1399) Diagenesis processes and geochemical characteristics of Elika Formation deposits in the large Gadhgamah anticline in the south of Central Alborz. *Kharazmi Journal of Earth Sciences*, 6(1): 55-82 (in Persian).
- Pourheydar, S. Z., Adabi, M. H., Mousavi Tasouj, M. R., Sadeghi, A (1400) The sedimentary environment of the Lower-Middle Triassic carbonate platform in the large Gadhgamah anticline in the south of central Alborz. *Scientific Quarterly Journal of Geosciences*, 31(2): 148-137 (in Persian). doi.org/10.22071/gsj.2020.194184.1679.
- Pruss, S. B., Corsetti, F. A., Bottjer, D. J (2005) The unusual sedimentary rock record of the Early Triassic: a case study from the southwestern United States. *Palaeogeography, Palaeoclimatology, Palaeoecology*, 222 (1-2): 33-52. doi.org/10.1016/j.palaeo.2005.03.007.
- Retallack, G. J (1995) Permian-Triassic life crisis on land. *Science*, 267: 77-80. 10.1126/science.267.5194.77.
- Richoz, S (2006) Stratigraphie et variations isotopiques du carbone dans le Permien supérieur et le Trias inférieur de quelques localités de la Neotethys (Turquie, Oman et Iran). (Institut de Géologie et Paleontologie).
- Richoz, S., Krystyn, L., Baud, A., Brandner, R., Horacek, M., Mohtat-Aghai, P (2010) Permian-Triassic boundary interval in the Middle East (Iran and N. Oman): progressive environmental change from detailed carbonate carbon isotope marine curve and sedimentary evolution. *Journal of Asian Earth Sciences*, 39 (4): 236-253. doi.org/10.1016/j.jseas.2009.12.014.
- Boundary (PTB): implications for the causes of the PTB biotic crisis. *Global Planetary Change*, 55 (1-3): 155-176. doi.org/10.1016/j.gloplacha.2006.06.011.
- Leda, L., Korn, D., Ghaderi, A., Hairapetian, V., Struck, U., Reimold, W. U (2014) Lithostratigraphy and carbonate microfacies across the Permian-Triassic boundary near Julfa (NW Iran) and in the Baghuk Mountains (Central Iran). *Facies*, 60 (1): 295-325. doi.org/10.1007/s10347-013-0366-0.
- Liu, X. C., Wang, W., Shen, S. Z., Gorgij, M. N., Ye, F. C., Zhang, Y. C., Furuyama, S., Kano, A., and Chen, X. Z (2013) Late Guadalupian to Lopingian (Permian) carbon and strontium isotopic chemostratigraphy in the Abadeh section, central Iran: *Gondwana Research*, 24(1): 222-232. doi.org/10.1016/j.gr.2012.10.012.
- Luo, C., Reitner, J (2014) First report of fossil “keratose” demosponges in Phanerozoic carbonates: preservation and 3-D reconstruction. *Naturwissenschaften*, 101: 467-477. doi.org/10.1007/s00114-014-1176-0.
- Mahari, R (2012) Sequence Stratigraphy Based on Facies and Sedimentary Environments of Triassic Elika Formation in North of Tabriz, Iran. *Life Science Journal*, 9(2): 64-70.
- Mazzullo, S. J (1992) Geochemical and Neomorphic Alteration of Dolomite: A Review. *Carbonates and Evaporites*, 7: 21-37. doi.org/10.1007/BF03175390.
- Metcalfe, I (2006) Palaeozoic and Mesozoic tectonic evolution and palaeogeography of East Asian crustal fragments: the Korean Peninsula in context. *Gondwana Research*, 9: 24-46. doi.org/10.1016/j.gr.2005.04.002.
- Metcalfe, I (2013) Gondwana dispersion and Asian accretion: Tectonic and palaeogeographic evolution of eastern Tethys. *Journal of Asian Earth Sciences*, 66: 1-33. doi.org/10.1016/j.jseas.2012.12.020.
- Mohtat-Aghai, P., Vachard, D., Krainer, K (2009) Transported foraminifera in Palaeozoic deep red nodular limestones exemplified by latest Permian Neoendothyra in the Zal section (Julfa area, NW Iran). *Revista española de micropaleontología*, 41: 197-213.
- Muttoni, G., Gaetani, M., Kent, D. V., Sciunnach, D., Angiolini, L., Berra, F., Garzanti, E., Mattei, M., Zanchi, A (2009a) Opening of the Neo-Tethys Ocean and the Pangea B to Pangea A transformation during the Permian. *Geoarabia*, 14: 17-48. doi.org/10.2113/geoarabia140417.
- Muttoni, G., Mattei, M., Balini, M., Zanchi, A., Gaetani, M., Berra, F (2009b) The drift history of Iran from the Ordovician to the Triassic. *Geological Society of London, Special Publication*, 312: 7-29. doi.org/10.1144/SP312.

- restored synthetic oceanic isochrons. *Earth and Planetary Science Letters*, 196: 17-33. doi.org/10.1016/S0012-821X(01)00588-X.
- Stampfli, G. M., Borel, G. D (2004) The TRANSMED transects in space and time: Constraints on the paleotectonic evolution of the Mediterranean domain. In: Cavazza, W., Roure, F., Spakman, W., Stampfli, G. M., Ziegler, P (Eds.), *The TRANSMED Atlas: The Mediterranean Region from Crust to Mantle*. Springer Verlag, 53-80.
- Sun, Y. D., Joachimski, M. M., Wignall, P. B., Yan, C., Chen, Y., Jiang, H., Wang, L., Lai, X (2012) Lethally hot temperatures during the Early Triassic greenhouse. *Science*, 338: 366-370. 10.1126/science.1224126.
- Tahmasabi, A (1376) Investigation of microfacies, sedimentary environment and sequence stratigraphy of the lower and middle parts of the Elika Formation in the east of Central Alborz, M.Sc. thesis, Tarbiat Moalem University, Tehran (in Persian).
- Taraz, H., Golshani, F., Nakazawa, K., Shimizu, D., Bando, Y., Ishii, K. I., Maurata, M., Okimura, Y., Sakagami, S., Nakamura, K., Tokuoka, T (1981) The Permian and the lower Triassic systems in Abadeh region, Central Iran: Memoirs of the Faculty of Science, Kyoto University. In: Series of Geology and Mineralogy, 47: 62-133.
- Tucker, M. E., Wright, V. P (1990) *Carbonate Sedimentology*. Blackwell, Oxford, 482p.
- Vaziri, S (1384) Lithodratigraphy of the Elika Formation in the northeast of Jajarm (Eastern Alborz, Binalud transitional zone), *Journal of Basic Sciences (Islamic Azad University)*, 15(57): 271-285 (in Persian).
- Wan, B., Chu, Y., Chen, L., Liang, X., Zhang, Z., Ao, S., Talebian, M (2021) Paleo-Tethys subduction induced slab-drag opening the Neo-Tethys: Evidence from an Iranian segment of Gondwana. *Earth-Science Reviews*, 221: 103788.
- Wei, H., Shen, J., Schoepfer, S. D., Krystyn, L., Richoz, S., Algeo, T. J (2015) Environmental controls on marine ecosystem recovery following mass extinctions, with an example from the Early Triassic. *Earth-Science Reviews*, 149: 108-135. doi.org/10.1016/j.earscirev.2014.10.007.
- Wignall, P. B., Twitchett, R. J (1999) Unusual intraclastic limestones in Lower Triassic carbonates and their bearing on the aftermath of the end-Permian mass extinction. *Sedimentology*, 46 (2): 303-316. doi.org/10.1046/j.1365-3091.1999.00214.x.
- Xu, H. P., Zhang, Y. C., Yuan, D. X., Shen, S. Z (2022) Quantitative palaeobiogeography of the Kungurian–Roadian brachiopod faunas in the Tethys: Implications of allometric drifting of Ruttner, A (1993) Southern borderland of Triassic laurasia in north-east Iran. *Geologische Rundschau*, 82: 110-120. 10.1007/BF00563274.
- Saidi, A., Brunet, M. F., Ricou, L. E (1997) Continental accretion of the Iran Block to Eurasia as seen from late Paleozoic to early cretaceous subsidence curves. *Geodinamica Acta*, 10: 189-208.
- Samii Rad, M (1393) Facies and sedimentary environment of Elika Formation (Early Triassic) in the northeast of Damghan (Darbanmeh region), M.Sc. thesis, Islamic Azad University, Shahrood branch (in Persian).
- Sano, H., Onoue, T., Orchard, M. J., Martini, R (2011) Early Triassic peritidal carbonate sedimentation on a Panthalassan seamount: the Jesmond succession, Cache Creek Terrane, British Columbia, Canada. *Facies*, 58 (1): 113-130. 10.1007/s10347-011-0270-4.
- Sedlacek, A. R., Saltzman, M. R., Algeo, T. J., Horacek, M., Brandner, R., Foland, K., Rhawn, F., Denniston, R. F (2014)  $^{87}\text{Sr}/^{86}\text{Sr}$  stratigraphy from the early triassic of Zal, Iran: linking temperature to weathering rates and the tempo of ecosystem recovery. *Geology*, 429: 779-782. doi.org/10.1130/G35545.1.
- Sengör, A. M. C (1990) A new model for the late Palaeozoic-Mesozoic tectonic evolution of Iran and implications for Oman. In: *the Geology and Tectonics of the Oman Region*, Robertson, A. H. F., Searle, M. P., Ries, A. C. (Eds). Geological Society of London, Special Publication, 49: 797-831. 10.1144/GSL.SP.1992.049.01.49.
- Sepkoski, J. J (1982) Mass extinctions in the Phanerozoic oceans: a review. In: *Geological implications of impacts of large asteroids and comets on the earth*, Silver L. T., Schultz, P.H. (Eds.). Geological Society of America, special Papers, 190: 283-289. doi.org/10.1130/SPE190-p283.
- Seyed-Emami, K (2003) Triassic in Iran. *Facies*, 48 (1): 91-106. doi.org/10.1007/BF02667532.
- Sotohian, F (1387) Sequence stratigraphy of the Elika Formation in Talash section, Eastern Alborz. *Journal of Science, University of Tehran, Tehran University Science Journal*, 34(1): 69-61 (in Persian).
- Sotohian, F (1393) Microfacies, sedimentary environment and sequence stratigraphy of Lower and Middle Triassic deposits in the Calariz section (southwest of Shahrood), *Applied Sedimentology*, 4: 37-49 (in Persian).
- Haijun Song, H., Wignall, P. B., Dunhill, A. M (2018) Decoupled taxonomic and ecological recoveries from the Permo-Triassic extinction. *Science Advances*, 4: 1-6.
- Stampfli, G. M., Borel, G. D (2002) A plate tectonic model for the Paleozoic and Mesozoic constrained by dynamic plate boundaries and

- Cimmerian blocks and opening of the Meso-Tethys Ocean. *Palaeogeography, Palaeoclimatology, Palaeoecology*, 601: 111078. 10.1016/j.palaeo.2022.111078.
- Yaqoubi, M., Najafzadeh, A., Zahdi, A., Mahari, R., Khaleghi, F. (1401) Petrography and geochemistry of Elika Formation dolomites in the Zal section, Julfa, Northwestern Iran. *Applied Sedimentology*, 10(19): 53-35 (in Persian). 10.22084/PSJ.2022.25490.1326.
- Zanchi, A., Zanchetta, S., Garzanti, E., Balini, M., Berra, F., Mattei, M., Muttoni, G (2009) The Cimmerian evolution of the Nakhvak-Anarak area, Central Iran, and its bearing for the reconstruction of the history of the Eurasian margin. *Geological Society of London, Special Publication*, 312: 261-286. doi.org/10.1144/SP312.1.
- Zhang, Y. C., Zhai, Q. G., Fan, J. J., Song, P. P., Qie, W. K (2022) Editorial preface to special issue: From Prototethys to Neotethys: Deep time paleobiogeographic and paleogeographic evolution of blocks in the Qinghai-Tibet Plateau. *Palaeogeography, Palaeoclimatology, Palaeoecology*, 599: 111046. 10.1016/j.palaeo.2022.111046.

## Microfacies and depositional environment of the Lower Triassic deposits of the Elika Formation at the Zal section, Julfa area, NW of Iran

S. Arefifard<sup>\*1</sup> and S. Shahinfar<sup>2</sup>

1- Assist. Prof., Dept., of Geology, Faculty of Sciences, Lorestan University, Khorramabad, Iran

2- Ph. D. (graduated), Dept., of Geology, Faculty of Sciences, Lorestan University, Khorramabad, Iran

\* sarefi.s@lu.ac.ir

Received: 2023.5.29 Accepted: 2023.10.22

### Abstract

One of the most complete sedimentary successions of the Upper Permian-Lower Triassic is located at Zal section, in NW Iran. This section was examined in order to determine the microfacies changes and depositional environment in uppermost Permian and through the entire Lower Triassic. The microfacies change from deep deposits of the uppermost portion of the *Paratirolites* Limestone to the upper Changhsingian Boundary Clay post-extinction facies is sharp lithologically and in terms of faunal content. This change appears to be associated with shallowing but there is no evidence of erosion or subaerial exposure. Despite of the presence of microgastropod packstone and bioclastic wackestone with clotted appearance in their micritic matrix, which is indicative of microbial origin, at the beginning of Triassic at the Zal section, but no microbial buildups such as thrombolite are observable in the lowermost beds of the Elika Formation. Keratos sponge fabric, which has been previously reported only from the uppermost beds of the upper Changhsingian *Paratirolites* Limestone at Zal section, has been found both in uppermost Changhsingian Boundary Clay and in lowermost beds of the Lower Triassic Elika Formation as post-extinction facies. Upper Permian to Lower Triassic transition at Zal section is associated with considerable microfacies change from deep water setting to shallow water inner shelf setting. Microbial carbonates appear in the upper beds of the lower part and in the middle and upper parts of the Lower Triassic Elika Formation at Zal section, which unlike previous reports is mainly in the form of stromatolite, and in a more limited way includes thrombolite, clotted micrite and cortoids. The microfacies study of the Lower Triassic Elika Formation shows the prevalence of a shallow water environment with energy fluctuations in different parts such as mudstone and bioclastic wackestone (low energy), microbial buildups (medium energy) and intraclastic floatstone and ooidal grainstone (high energy).

**Keywords:** Elika Formation, Lower Triassic, Environmental changes, Microbial carbonates, End-Permian extinction

### Introduction

The Lower and Middle Triassic deposits in Iran generally include platform carbonate rocks that overlie disconformably the Permian strata. Lower and Middle Triassic sediments can be divided into three distinct lithological units, which include the lower thin-bedded limestone unit, the middle dolomite unit, and the upper limestone unit. Lower and Middle Triassic sediments in Alborz generally consist of limestone in the lower part and dolomite in the upper part and are named as Elika Formation. In the type section and other outcrops of the Elika Formation in Alborz, the lower part of the Elika Formation consists of platy limestones and marly limestones, which can be distinguished from the thick dolomites of the

upper parts by the characteristic of thin bedding, worm-like structures, and the presence of *Claraia* bivalves and small gastropods. Due to the abundant presence of worm-like structures in the limestones of the lower part of Elika Formation, they are called vermiculated lime. Dolomites and dolomitic limestones in the upper part of Elika Formation are massive and cliffy and are known as Elika dolomites. In some areas of Alborz, such as Veresk and Shahmirzad, the dolomites of the upper part of the Elika Formation are overlain by limestones known as the Veresk limestone, which form the uppermost part of the Elika Formation. As the Neotethys opened, the Cimmerian blocks moved northward, and subduction of the Paleotethys oceanic crust

along the Eurasian margin was activated, which continued for almost most of the Permian to Triassic time. The presence of thick deposits of the Elika Formation (up to 900 m, for example, in the Shahmirzad and Versak sections) compared to the Middle and Upper Permian deposits of Alborz (up to 500 m in the type sections of the Ruteh and Nessen formations) was as the result of the general transgression of the sea throughout Alborz at the beginning of the Triassic. This increase in the thickness of the sediments in the Lower Triassic of Alborz is probably caused by the approach of Alborz to the oblique subduction zone of the Turan arc. The Elika Formation overlies disconformably the Middle Permian (Ruteh Formation) or Upper Permian (Nessen Formation) rocks, and its upper boundary is defined by disconformity discontinuity under the Upper Triassic-Middle Jurassic shales and sandstones of the Shamshak Formation. Biostratigraphy, microfacies, depositional environment, and sequence stratigraphy and geochemistry of the Elika Formation in different southern, western and eastern parts of Alborz and limitedly in Julfa region have been studied by several geologists. The Early Triassic represents a long period of biotic recovery after the end-Permian extinction, which destroyed marine and terrestrial ecosystems. The Early Triassic was characterized by instability in the carbon cycle and global temperature fluctuations, suggesting that environmental perturbations prevented biotic recovery. Increased sedimentation rates and unusual temperature changes probably contributed to the prolonged recovery of the marine ecosystem after the end-Permian biotic crisis. Strontium  $^{88/87}\text{Sr}$  isotope values of Lower Triassic deposits in the Zal section, in Julfa region, have been studied by Sedlasek et al. (2014). In Zal section, no detailed studies have been carried out on the microfacies and sedimentary environment of the Lower Triassic deposits. Investigating the depositional environment of Lower Triassic carbonates in the Zal section provides the possibility to evaluate the relationship between environmental changes and its impact on marine ecosystem changes after the end-Permian extinction.

### Materials and methods

In order to study the deposits of the uppermost part of the Upper Permian and the Lower

Triassic and their microfacies and depositional environment, the well-known Zal section in the northwest of Iran was measured and sampled (264 samples) including the uppermost beds of the *Paratirolites* limestones (2 samples), "Boundary Clay" (one sample) and Lower Triassic limestones of the Elika Formation (261 samples). Thin sections were prepared from the collected samples and studied by polarizing microscope. Tucker and Wright (1990) and Flügel (2010) were used to name the microfacies and determine the depositional environment.

### Discussion of results

In *Paratirolites* Limestone of upper Chenghsingian age, which forms the basal part of the section studied in the Zal section, with faunal contents consisting of ammonoid, ostracod, sponge spicule, radiolarian and crinoid, microfacies mostly with micritic background (such as bioclastic wackestone) and intense biological disturbances indicate a calm, deep and low-energy outer shelf environment with a low sedimentation rate. The existence of abundant assemblages of benthic ostracods in the late Chenghsingian in the Zal section indicates the presence of abundant and sufficient oxygen in *Paratirolites* Limestone. The presence of deep waters in the upper deposits of Chenghsingian has been recognized by the lack of evidence of erosion in Aras section and other coeval deposits in the Abadeh and Ali Bashi sections. Keratos sponge packstone in transition from *Paratirolites* Limestone to "Boundary Clay" with a calcitized fibrous network of sponges embedded in a micritic matrix still represents deep water conditions. The sponge packstone microfacies, which was formed after the end-Permian extinction event, as reported by Luo and Reitner (2014) and Baud et al. (2021), was first introduced as an indication of the end-Permian extinction event by Leda et al. (2014) and Gliwa. et al. (2020) and also as post-extinction facies by Heindel et al. (2018) and Foster et al., (2020). The coincidence of the Keratos sponge fabric with thrombolite facies of Griesbachian to Dienerian age has been considered as a post-extinction feature. On the other hand, the transition from the *Paratirolites* Limestone to the uppermost Changhsingian "Boundary Clay" indicates the cessation of carbonate sedimentation and the end of fauna dominance by small-shelled ostracods along

with conodonts and ammonoids which is a sign of the main environmental change. The “Boundary Clay” facies has an important lithological difference with the underlying *Paratirolites* Limestone, as it is mostly composed of shaly deposits. The depositional environment of the “Boundary Clay” has been controversial because some have considered a low-energy outer shelf setting for it, and others have suggested a shallow marine setting. There is no evidence of emerging and erosion in the “Boundary Clay”, but based on the color change from red to pale green in the upper shales of the “Boundary Clay”, it seems that a shallowing condition has occurred in the upper part of the “Boundary clay”. This shallowing condition should not be confused with emerging, but it can be considered as a change in sea level and depositional setting from the outer shelf related to the sponge packstone at the top of *Paratirolites* Limestone to the middle shelf setting in the upper part of the “Boundary Clay”. The beginning of the deposition of new carbonate deposits named Elika Formation is with microgastropod (Blerophontids) packstone beds, which reflects tempestites in the shallower middle ramp position. The facies change from the limestones containing the Changhsingian fossil-bearing limestones to the limestones with little fossil diversity in the Lower Triassic shows the harsh conditions for organisms after the end-Permian extinction, although the presence of microgastropods, ostracods and crinoids indicates relatively favorable marine and somewhat oxygenated conditions for the limited life of these organisms. The reason for the low presence of fossil assemblages in the Lower Triassic is due to persistent environmental stress and long-term delay in the recovery of environmental conditions for organisms. The microgastropod packstone microfacies is followed by poidal bioclast wackestone and bioclastic wackestone along with spheres filled with sparry calcite related to platy limestones of *Claraia* beds of the Elika Formation. Sparitic spheres have been reported in the Triassic deposits of Abadeh as well as Oman and South China. The microgastropod packstone and bioclastic wackestone at the base of the *Claraia* beds also have a clotted appearance that suggests a microbial origin, but no microbial formations can be identified at the base of the Lower Triassic deposits in the Zal section. The depositional environment of

the basal parts of the Elika Formation shows an inner shelf setting compared to the *Paratirolites* Limestone and the underlying “Boundary Clay”. The presence of oncoidal wackestone above the basal parts of the *Claraia* beds indicates a shallowing upward trend. The presence of intraclastic wackestone/floatstone in the lower and upper parts of the studied section indicates the existence of periodic high-energy storm activity during the deposition of the Lower Triassic deposits, which led to the removal of the initial cement on the sea floor and their crushing and redeposition after little reworking. Microbial deposits are mainly stromatolite, limited thrombolite and also in the form of clotted micrite, and cortoids which are observable in the upper portions of the lower part and the middle and upper parts of the Lower Triassic of Elika Formation in an inner shelf setting. The presence of microbial deposits in the Lower Triassic deposits have been reported in the Tethys basin, such as the Hambast section the Aras section the Tash and Kalariz section, the Ali Bashi section, the Kuh-e Surmeh section, the Shahreza section, and the Dena Mountain section. The presence of oolitic grainstone in the upper parts of the Lower Triassic of the Elika Formation indicates an energetic marine environment. On the other hand, dolomites overlie this microfacies, which are very difficult to interpret their sedimentary environment because they do not show any relicts of the primary texture. In general, during the Lower Triassic, sedimentation took place in the Zal section under shallow water conditions, which was associated with energy fluctuations.

### Conclusion

In this research, the details of the microfacies changes and sedimentary environment of the Upper Permian-Lower Triassic sequences at the Zal section, in northwest Iran were investigated. The transition from Upper Permian to Lower Triassic deposits is characterized by facies changes from outer ramp to inner shelf environment. The presence of Keratos sponge wackestone, microgastropod packstone and peloidal wackestone at the base of Lower Triassic deposits in the section under study shows that, unlike Hambast Valley section in Abadeh region, microbial formations were not formed in this section at the beginning of Triassic time. Nevertheless, clotted micrite of microbial

origin can be detected in the basal beds of the Zal section. The presence of keratos sponge in the “Boundary Clay” beds and the basal beds of the Elika Formation as a fabric after extinction is reported for the first time in this section. Contrary to previous reports, the microbial formations in the Lower Triassic deposits of the Elika Formation in the Zal section are more of stromatolite type and to a lesser extent, they include thrombolite, clotted micrite and cortoid, which are mainly found in the upper layers of the lower part and the middle and upper parts of the Elika Formation. Although the presence of skeletal elements such as ostracod, sponge and bivalve can be observed in the basal parts and limitedly in the

middle and upper parts of the studied sequence, they have low abundance and diversity, which shows the influence of long-term environmental stresses in the environment. Considering the distribution and type of microfacies of Elika Formation in the studied section, its depositional environment was of shallow type with energy fluctuations. The presence of intraclastic floatstone (in the lower and middle parts) and ooidal grainstone (in the upper parts) indicates high energy conditions. The bioclastic wackestone, peloidal wackestone, and mudstone indicates low energy conditions and the presence of microbial formations indicates medium energy conditions.